

### 5.3.5 2005年春季(4~5月)分析結果

2005年春季(4~5月)分析は、DPAA、PAAおよびPMAAを行った。結果は、以下の表および図としてまとめた。なお、値はすべてヒ素換算値とした。

表 5.3.9 2005年春季(4~5月)地下水分析結果一覧表

図 5.3.38 2005年春季(4~5月)ABトラック地下水 DPAA 汚染状況図

図 5.3.39 2005年春季(4~5月)A井戸周辺地下水 DPAA 汚染状況図

図 5.3.40 2005年春季(4~5月)B地区地下水 DPAA 汚染状況図

図 5.3.41 2005年春季(4~5月)ABトラック地下水 DPAA・PAA・PMAA 汚染状況図(深度10m)

図 5.3.42 2005年春季(4~5月)ABトラック地下水 DPAA・PAA・PMAA 汚染状況図(深度20m)

図 5.3.43 2005年春季(4~5月)ABトラック地下水 DPAA・PAA・PMAA 汚染状況図(深度30m)

図 5.3.44 2005年春季(4~5月)A井戸周辺地下水 DPAA・PAA・PMAA 汚染状況図(深度10m)

図 5.3.45 2005年春季(4~5月)A井戸周辺地下水 DPAA・PAA・PMAA 汚染状況図(深度20m)

図 5.3.46 2005年春季(4~5月)A井戸周辺地下水 DPAA・PAA・PMAA 汚染状況図(深度30m)

図 5.3.47 2005年春季(4~5月)B地区地下水 DPAA・PAA・PMAA 汚染状況図(深度10m)

図 5.3.48 2005年春季(4~5月)B地区地下水 DPAA・PAA・PMAA 汚染状況図(深度20m)

図 5.3.49 2005年春季(4~5月)B地区地下水 DPAA・PAA・PMAA 汚染状況図(深度30m)

#### 1) A井戸周辺

A井戸直近では、2005年冬季測定に引続き、A井戸の南西と南東の2カ所の深度30mを中心に高濃度汚染が認められる。

A井戸の南東部分のNo72の深度30mでは、これまでの最高の34.3ppmを検出した。

グラウンド北西角(No27、155)は、2005年冬測定では一旦濃度が低下したが、今回また上昇した。

掘削調査地点付近のNo46では、濃度が上昇し、深度10mがもっとも高くなっている。

#### 2) B地区

2005年冬季測定に引続き、B地区中心付近のNo163孔の深度29mで0.46ppmの汚染が認められ、周辺に向かって薄くなる傾向があるが、B地区北側のNo58とNo167の深度30mで、それぞれ0.48ppm、0.36ppmとやや濃度が高くなる。

#### 3) AB間

2005年冬季測定に引続き、No174、55、194、177、56、181の深度30mを主体に非常に薄い汚染が確認されている。深度10mの汚染はNo181を除き全く確認されなかった。

#### 4) ABトラック外周

17孔のモニタリング孔のうち、南西端に位置するM-3孔において、2005年冬測定に引続き、わずかに濃度が増加したものの非常に低濃度(深度10mで0.042ppm、深度20mで0.042ppm、深度30mで0.047ppm)のジフェニルアルシン酸を検出した。それ以外の16孔では検出されなかった。

#### 5) DPAA、PAA、PMAA 分布

2005年春季のDPAA、PAA、PMAAを比較すると、濃度はこれまでと同様、基本的には高い順に、DPAA、PAA、PMAAになる。その分布も大局的にはこれまでと同様であるが、PAAについては、特にB地区においてDPAAとは異なった分布を示しており、DPAA分布の外側(外周)に低濃度のものが分布する傾向が見られる。

PMAAは、これまではA井戸南東90m(掘削調査地点)周辺を主体とする分布であったが、今回A井戸西約50mにあるNo27とNo155で低濃度のものが確認された。

表5.3.9 2005年春季(4~5月)地下水分析結果一覽表

地点番号	地区	深度(m)	採水日	DPAA	PAA	PMAA	地点番号	地区	深度(m)	採水日	DPAA	PAA	PMAA	地点番号	地区	深度(m)	採水日	DPAA	PAA	PMAA
65	B	10	4月28日	ND.	ND.	ND.	180	AB	10	5月6日	ND.	ND.	ND.	180	AB	10	5月6日	ND.	ND.	ND.
65	B	20	4月28日	ND.	ND.	ND.	180	AB	20	5月6日	ND.	ND.	3.6	180	AB	20	5月6日	ND.	ND.	ND.
66	B	10	4月28日	ND.	ND.	ND.	198	AB	10	5月6日	ND.	ND.	ND.	198	AB	10	5月6日	ND.	ND.	ND.
66	B	20	4月28日	ND.	ND.	ND.	198	AB	20	5月6日	ND.	ND.	ND.	198	AB	20	5月6日	ND.	ND.	ND.
66	B	28	4月28日	ND.	ND.	ND.	198	AB	28	5月6日	2.0	ND.	ND.	198	AB	28	5月6日	ND.	ND.	ND.
57	B	10	4月26日	ND.	ND.	ND.	51	A	10	5月6日	ND.	ND.	ND.	51	A	10	5月6日	ND.	ND.	ND.
57	B	20	4月26日	1.5	1.4	ND.	51	A	20	5月6日	ND.	ND.	ND.	51	A	20	5月6日	ND.	ND.	ND.
57	B	25	4月26日	4.4	1.8	ND.	48	A	10	5月6日	ND.	ND.	ND.	48	A	10	5月6日	ND.	ND.	ND.
64	B	10	4月26日	ND.	ND.	ND.	48	A	10	5月6日	ND.	ND.	ND.	48	A	10	5月6日	ND.	ND.	ND.
64	B	20	4月26日	ND.	ND.	ND.	48	A	20	5月6日	ND.	ND.	ND.	48	A	20	5月6日	ND.	ND.	ND.
64	B	30	4月26日	32.4	17.3	ND.	48	A	30	5月6日	120.4	43.8	ND.	48	A	30	5月6日	120.4	43.8	ND.
173	B	10	5月6日	ND.	ND.	ND.	50	A	10	5月6日	ND.	ND.	ND.	50	A	10	5月6日	ND.	ND.	ND.
173	B	20	5月6日	2.4	1.7	ND.	50	A	20	5月6日	ND.	ND.	ND.	50	A	20	5月6日	ND.	ND.	ND.
173	B	27	5月6日	25.7	30.5	ND.	50	A	27	5月6日	ND.	ND.	ND.	50	A	27	5月6日	ND.	ND.	ND.
190	B	10	4月26日	ND.	ND.	ND.	30	A	10	5月7日	ND.	ND.	ND.	30	A	10	5月7日	ND.	ND.	ND.
172	B	10	4月26日	ND.	ND.	ND.	30	A	20	5月7日	ND.	ND.	ND.	30	A	20	5月7日	ND.	ND.	ND.
172	B	20	4月26日	ND.	ND.	ND.	30	A	25	5月7日	ND.	ND.	ND.	30	A	25	5月7日	ND.	ND.	ND.
172	B	27	4月26日	ND.	ND.	ND.	27	A	10	4月25日	4.7	1.8	1.2	27	A	10	4月25日	4.7	1.8	1.2
188	B	10	4月26日	ND.	ND.	ND.	27	A	20	4月25日	6628.5	ND.	ND.	27	A	20	4月25日	6628.5	ND.	ND.
169	B	10	4月26日	ND.	ND.	ND.	27	A	30	4月25日	6022.0	ND.	ND.	27	A	30	4月25日	6022.0	ND.	ND.
169	B	20	4月26日	ND.	ND.	ND.	155	A	10	4月25日	380.4	ND.	ND.	155	A	10	4月25日	380.4	ND.	ND.
169	B	30	4月26日	111.9	10.5	ND.	155	A	20	4月25日	344.5	5.4	ND.	155	A	20	4月25日	344.5	5.4	ND.
189	B	10	4月28日	ND.	ND.	ND.	155	A	30	4月25日	1413.9	21.6	12.9	155	A	30	4月25日	1413.9	21.6	12.9
67	B	20	4月28日	ND.	ND.	ND.	47	A	10	5月7日	ND.	ND.	ND.	47	A	10	5月7日	ND.	ND.	ND.
67	B	30	4月28日	ND.	ND.	ND.	47	A	20	5月7日	ND.	ND.	ND.	47	A	20	5月7日	ND.	ND.	ND.
170	B	10	4月26日	ND.	ND.	ND.	49	A	10	5月7日	ND.	ND.	ND.	49	A	10	5月7日	ND.	ND.	ND.
170	B	20	4月26日	ND.	ND.	ND.	49	A	20	5月7日	ND.	ND.	ND.	49	A	20	5月7日	ND.	ND.	ND.
170	B	30	4月26日	13.5	ND.	ND.	49	A	28	5月7日	ND.	ND.	ND.	49	A	28	5月7日	ND.	ND.	ND.
166	B	10	4月26日	2.4	ND.	ND.	156	A	10	4月25日	ND.	ND.	ND.	156	A	10	4月25日	ND.	ND.	ND.
187	B	10	4月26日	ND.	ND.	ND.	156	A	20	4月25日	ND.	ND.	ND.	156	A	20	4月25日	ND.	ND.	ND.
58	B	10	4月26日	ND.	ND.	ND.	156	A	30	4月25日	291.0	ND.	ND.	156	A	30	4月25日	291.0	ND.	ND.
58	B	28	4月26日	480.1	ND.	ND.	40	A	10	4月25日	2.6	ND.	ND.	40	A	10	4月25日	2.6	ND.	ND.
171	B	10	4月26日	ND.	ND.	ND.	40	A	20	4月25日	2.8	ND.	ND.	40	A	20	4月25日	2.8	ND.	ND.
171	B	20	4月26日	2.1	ND.	ND.	40	A	26	4月25日	3.6	ND.	ND.	40	A	26	4月25日	3.6	ND.	ND.
171	B	30	4月26日	72.9	ND.	ND.	79	A	10	4月25日	361.8	ND.	ND.	79	A	10	4月25日	361.8	ND.	ND.
54	B	10	4月26日	6.4	ND.	ND.	79	A	20	4月25日	704.2	ND.	ND.	79	A	20	4月25日	704.2	ND.	ND.
54	B	20	4月26日	6.6	ND.	ND.	79	A	30	4月25日	1021.30	ND.	ND.	79	A	30	4月25日	1021.30	ND.	ND.
54	B	29	4月26日	8.2	ND.	ND.	39	A	10	4月25日	712.9	ND.	ND.	39	A	10	4月25日	712.9	ND.	ND.
191	B	10	4月28日	ND.	ND.	ND.	39	A	20	4月25日	11600.0	ND.	ND.	39	A	20	4月25日	11600.0	ND.	ND.
168	B	10	4月28日	ND.	ND.	ND.	39	A	30	4月25日	14466.0	ND.	ND.	39	A	30	4月25日	14466.0	ND.	ND.
168	B	20	4月28日	ND.	ND.	ND.	158	A	10	4月25日	ND.	ND.	ND.	158	A	10	4月25日	ND.	ND.	ND.
168	B	28	4月28日	23.5	4.1	ND.	158	A	20	4月25日	26.7	ND.	ND.	158	A	20	4月25日	26.7	ND.	ND.
165	B	10	4月26日	ND.	ND.	ND.	6	A	10	4月25日	1.2	ND.	ND.	6	A	10	4月25日	1.2	ND.	ND.
165	B	20	4月26日	ND.	ND.	ND.	6	A	20	4月25日	ND.	ND.	ND.	6	A	20	4月25日	ND.	ND.	ND.
165	B	30	4月26日	1.6	ND.	ND.	6	A	28	4月25日	438.4	ND.	ND.	6	A	28	4月25日	438.4	ND.	ND.
167	B	10	4月28日	ND.	ND.	ND.	34	A	10	4月25日	1656.4	24.2	ND.	34	A	10	4月25日	1656.4	24.2	ND.
167	B	20	4月28日	ND.	ND.	ND.	34	A	20	4月25日	2761.6	39.2	ND.	34	A	20	4月25日	2761.6	39.2	ND.
167	B	29	4月28日	365.0	ND.	ND.	34	A	25	4月25日	3328.0	ND.	ND.	34	A	25	4月25日	3328.0	ND.	ND.
162	B	10	4月26日	ND.	1.3	ND.	42	A	10	4月25日	ND.	ND.	ND.	42	A	10	4月25日	ND.	ND.	ND.
162	B	20	4月26日	ND.	1.3	ND.	42	A	20	4月25日	2.1	6.4	ND.	42	A	20	4月25日	2.1	6.4	ND.
162	B	30	4月26日	17.4	10.3	ND.	42	A	25	4月25日	18.0	44.5	ND.	42	A	25	4月25日	18.0	44.5	ND.
63	B	10	4月28日	ND.	ND.	ND.	7	A	10	4月25日	7.50	38.6	ND.	7	A	10	4月25日	7.50	38.6	ND.
63	B	20	4月28日	ND.	ND.	ND.	7	A	20	4月25日	2080.6	ND.	ND.	7	A	20	4月25日	2080.6	ND.	ND.
63	B	30	4月28日	ND.	ND.	ND.	7	A	27	4月25日	ND.	ND.	ND.	7	A	27	4月25日	ND.	ND.	ND.
192	B	10	4月26日	ND.	ND.	ND.	38	A	10	4月25日	ND.	ND.	ND.	38	A	10	4月25日	ND.	ND.	ND.
163	B	10	4月26日	359.0	41.8	ND.	38	A	20	4月25日	ND.	ND.	ND.	38	A	20	4月25日	ND.	ND.	ND.
163	B	20	4月26日	468.0	14.8	ND.	24	A	10	4月25日	ND.	ND.	ND.	24	A	10	4月25日	ND.	ND.	ND.
164	B	10	4月28日	ND.	ND.	ND.	24	A	20	4月25日	1.1	ND.	ND.	24	A	20	4月25日	1.1	ND.	ND.
164	B	20	4月28日	ND.	ND.	ND.	20	A	10	4月25日	ND.	ND.	ND.	20	A	10	4月25日	ND.	ND.	ND.
62	B	10	4月28日	ND.	ND.	ND.	20	A	15	4月25日	ND.	ND.	ND.	20	A	15	4月25日	ND.	ND.	ND.
62	B	20	4月28日	ND.	ND.	ND.	70	A	10	4月25日	28.5	237.0	ND.	70	A	10	4月25日	28.5	237.0	ND.
62	B	28	4月28日	ND.	ND.	ND.	70	A	20	4月25日	1427.8	792.6	ND.	70	A	20	4月25日	1427.8	792.6	ND.
60	B	10	4月28日	ND.	ND.	ND.	8	A	10	4月25日	ND.	ND.	ND.	8	A	10	4月25日	ND.	ND.	ND.
60	B	20	4月28日	ND.	ND.	ND.	8	A	20	4月25日	413.1	ND.	ND.	8	A	20	4月25日	413.1	ND.	ND.
60	B	29	4月28日	ND.	ND.	ND.	89	A	10	4月25日	230.2	120.5	ND.	89	A	10	4月25日	230.2	120.5	ND.
59	B	10	5月7日	ND.	ND.	ND.	89	A	20	4月25日	5344.5	288.5	ND.	89	A	20	4月25日	5344.5	288.5	ND.
59	B	20	5月7日	ND.	ND.	ND.	89	A	28	4月25日	11866.0	308.0	ND.	89	A	28	4月25日	11866.0	308.0	ND.
195	B	10	4月28日	ND.	ND.	ND.	25	A	10	4月25日	ND.	ND.	ND.	25	A	10	4月25日	ND.	ND.	ND.
195	B	20	4月28日	ND.	1.4	ND.	68	A	10	4月25日	ND.	ND.	ND.	68	A	10	4月25日	ND.	ND.	ND.
195	B	28	4月28日	ND.	3.9	ND.	68	A	20	4月25日	8.3	49.3	ND.	68	A	20	4月25日	8.3	49.3	ND.
196	B	10	5月7日	ND.	ND.	ND.	68	A	30	4月25日	5553.0	ND.	ND.	68	A	30	4月25日	5553.0	ND.	ND.
196	B	20	5月7日	ND.	ND.	ND.	13	A	10	4月25日	69.0	ND.	ND.	13	A	10	4月25日	69.0	ND.	ND.
196	B	28	5月7日	ND.	ND.	ND.	13	A	20	4月25日	2427.2	77.0	ND.	13	A	20	4月25日	2427.2	77.0	ND.
61	B	10	5月7日	ND.	ND.	ND.	13	A	30	4月25日	18136.0	228.0	ND.	13	A	30	4月25日	18136.0	228.0	ND.
61	B	20	5月7日	ND.	ND.	ND.	74	A	10	4月25日	ND.	ND.	ND.	74	A	10	4月25日	ND.	ND.	ND.
61	B	27	5月7日	ND.	ND.	ND.	74	A	20	4月25日	ND.	ND.	ND.	74	A	20	4月25日	ND.	ND.	ND.
193	AB	10	5月7日	ND.	ND.	ND.	74	A	29	4月25日	682.2	119.5	ND.	74	A	29	4月25日	682.2	119.5	ND.
193	AB	20	5月7日	ND.	ND.	ND.	160	A	10	4月25日	2540.4	95.6	ND.	160	A	10	4月25日	2540.4	95.6	ND.
193	AB	30	5月7日	ND.	ND.	ND.	160	A	20	4月25日	151.9	24.1	ND.	160	A	20	4月25日	151.9	24.	



図5.3.38 2005年春季(4~5月)ABトラック地下水DPAA汚染状況図

単位: ppb (ヒ素換算値)

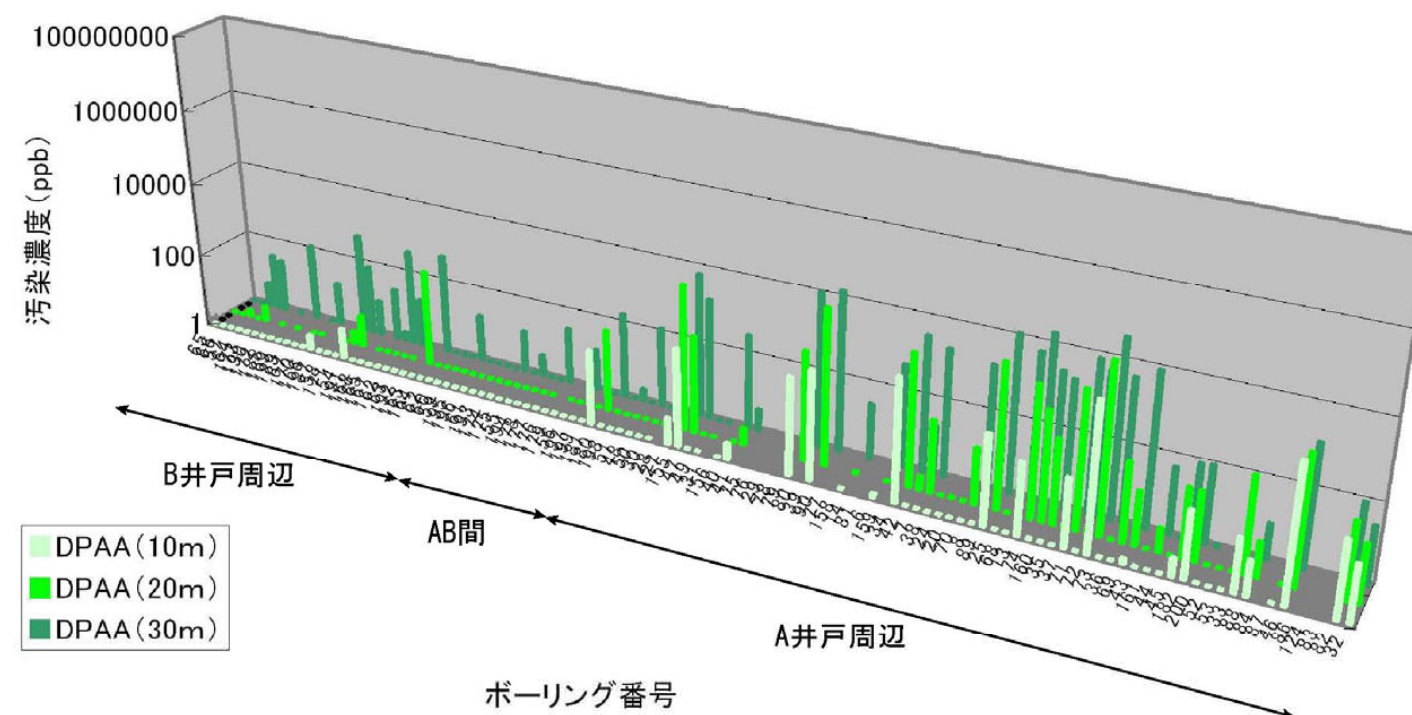
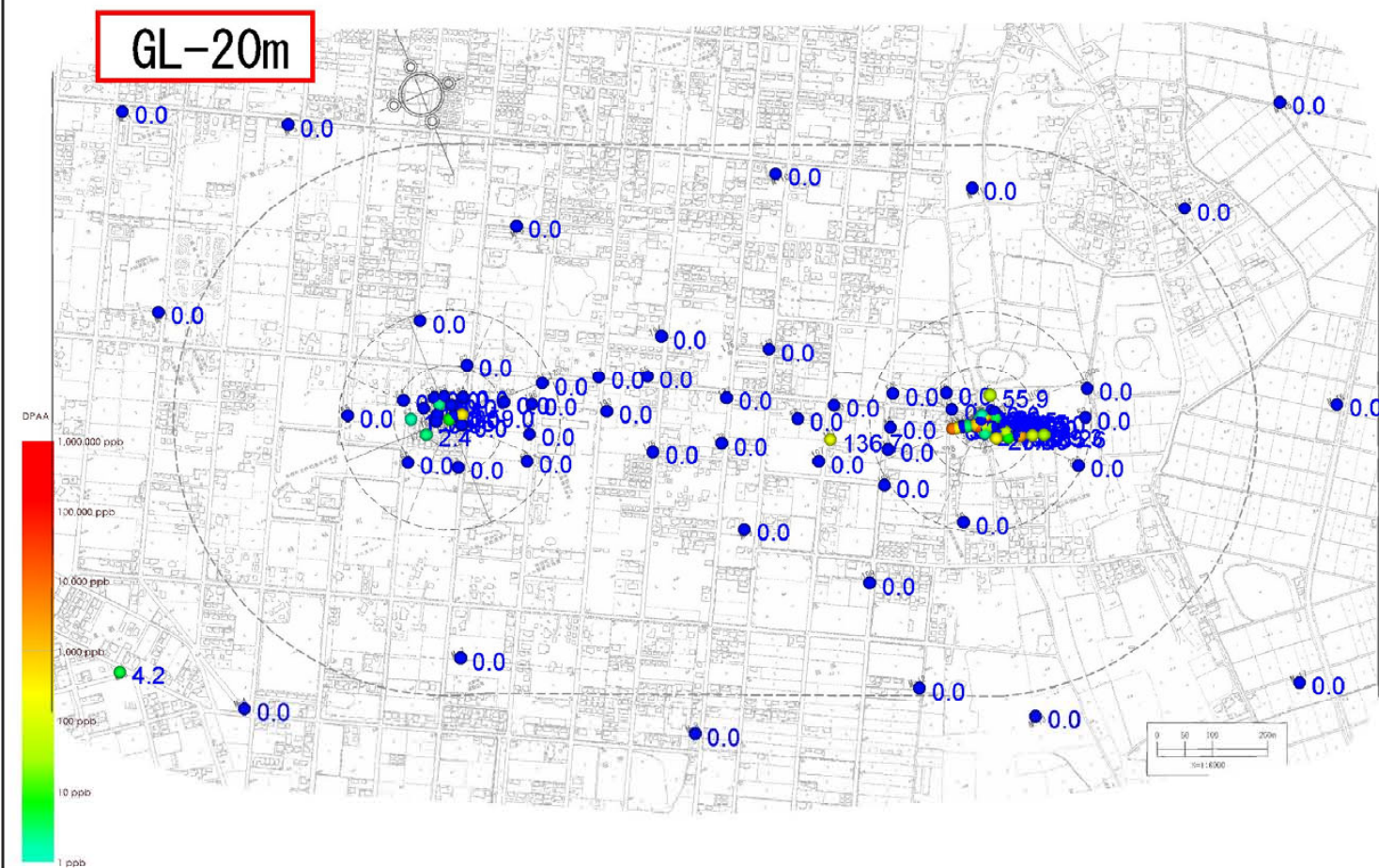
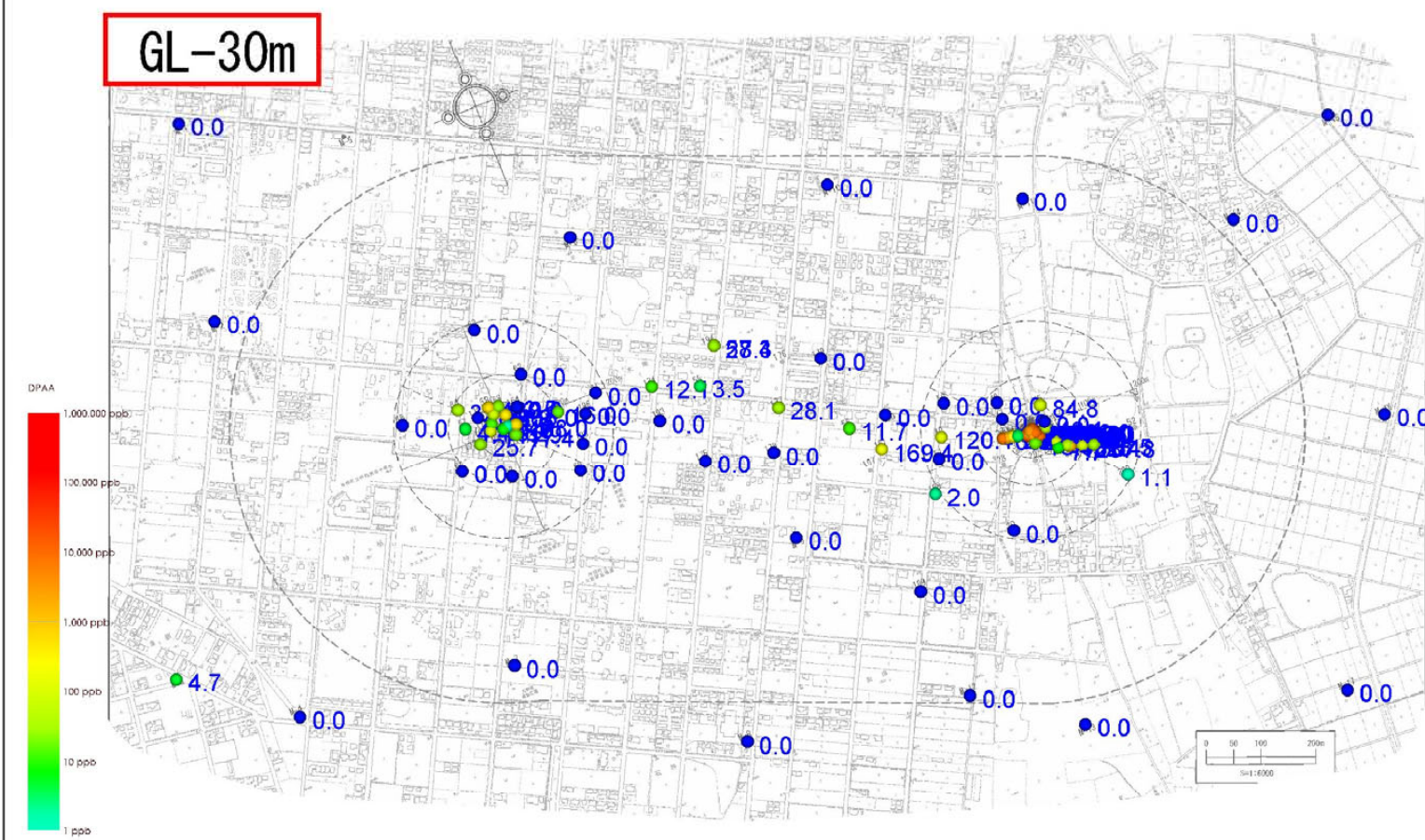
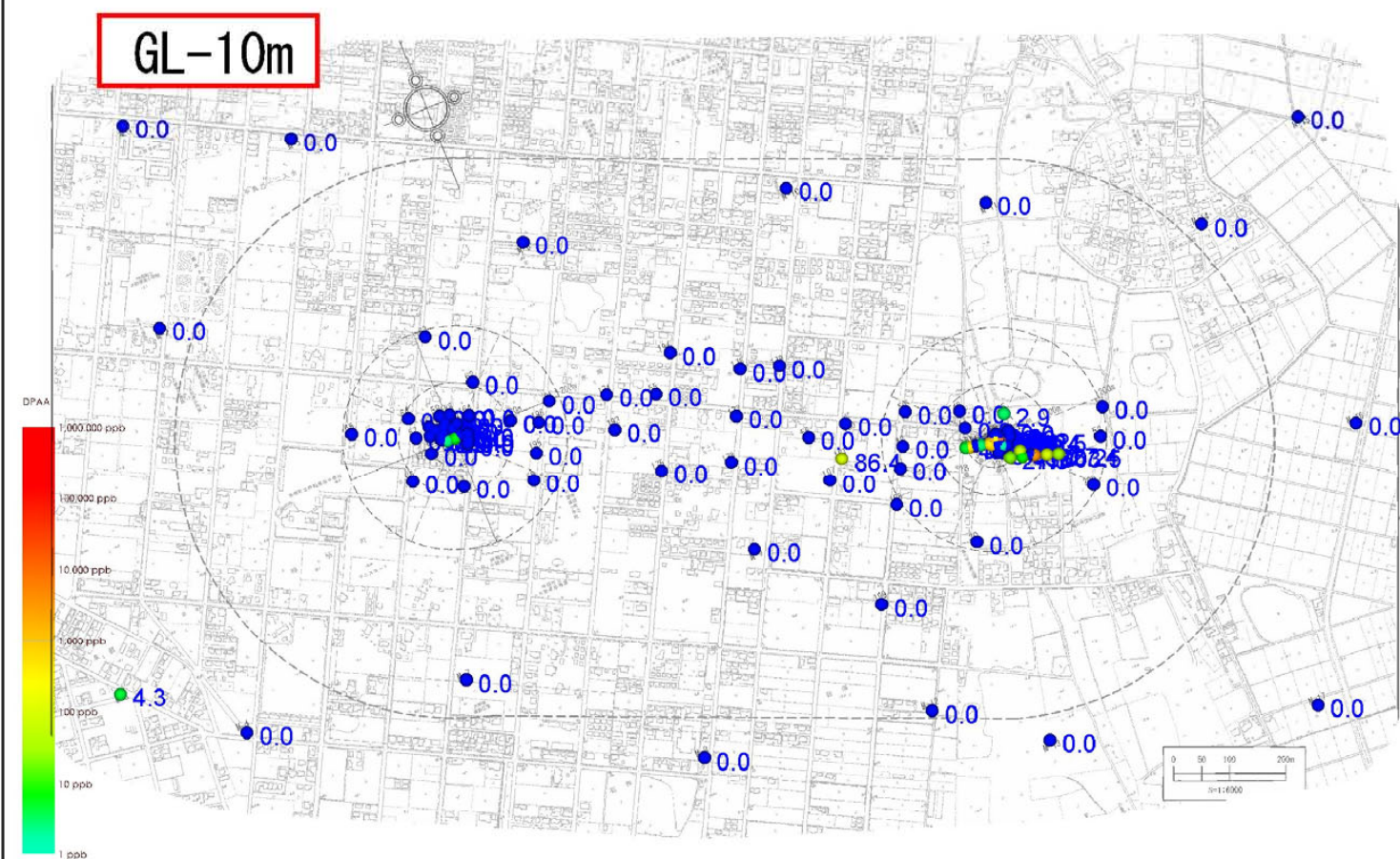




図5.3.39 2005年春季(4~5月)A井戸周辺地下水DPAA汚染状況図

単位: ppb(ヒ素換算値)

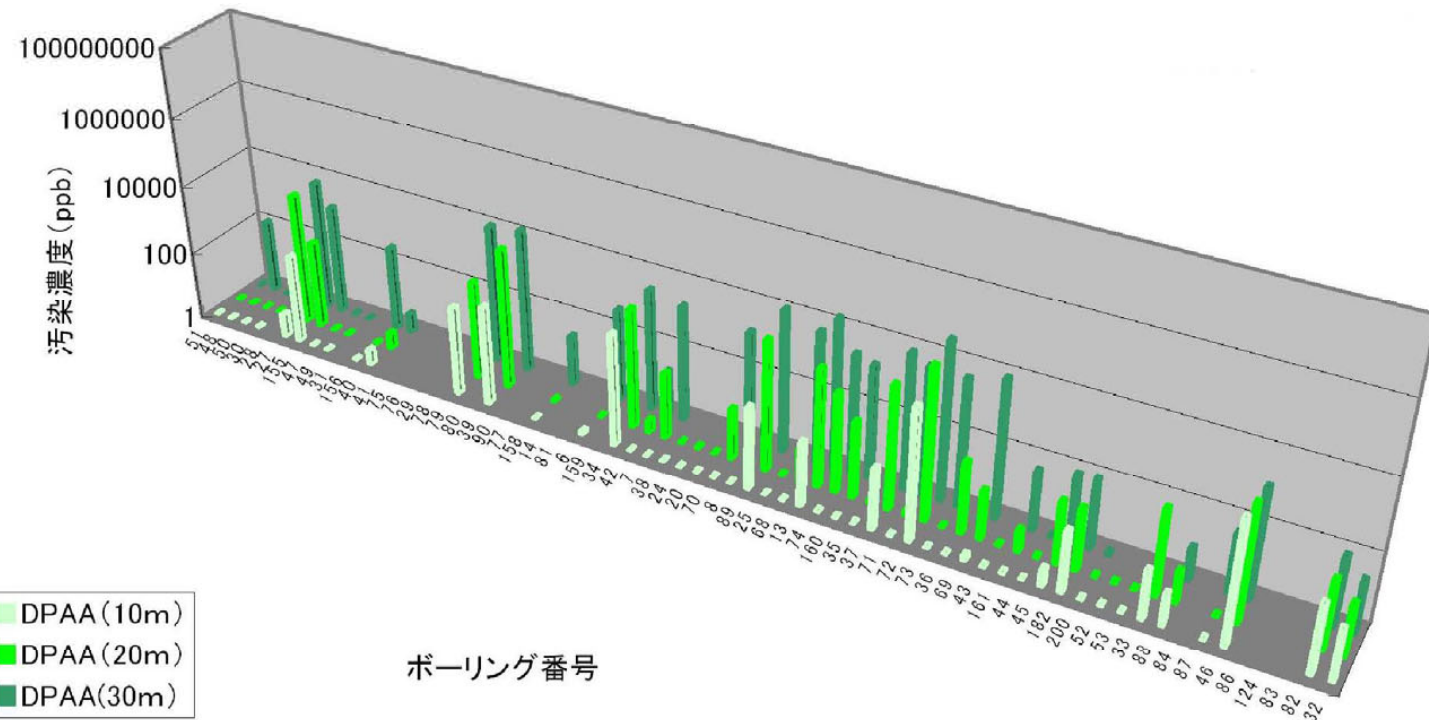
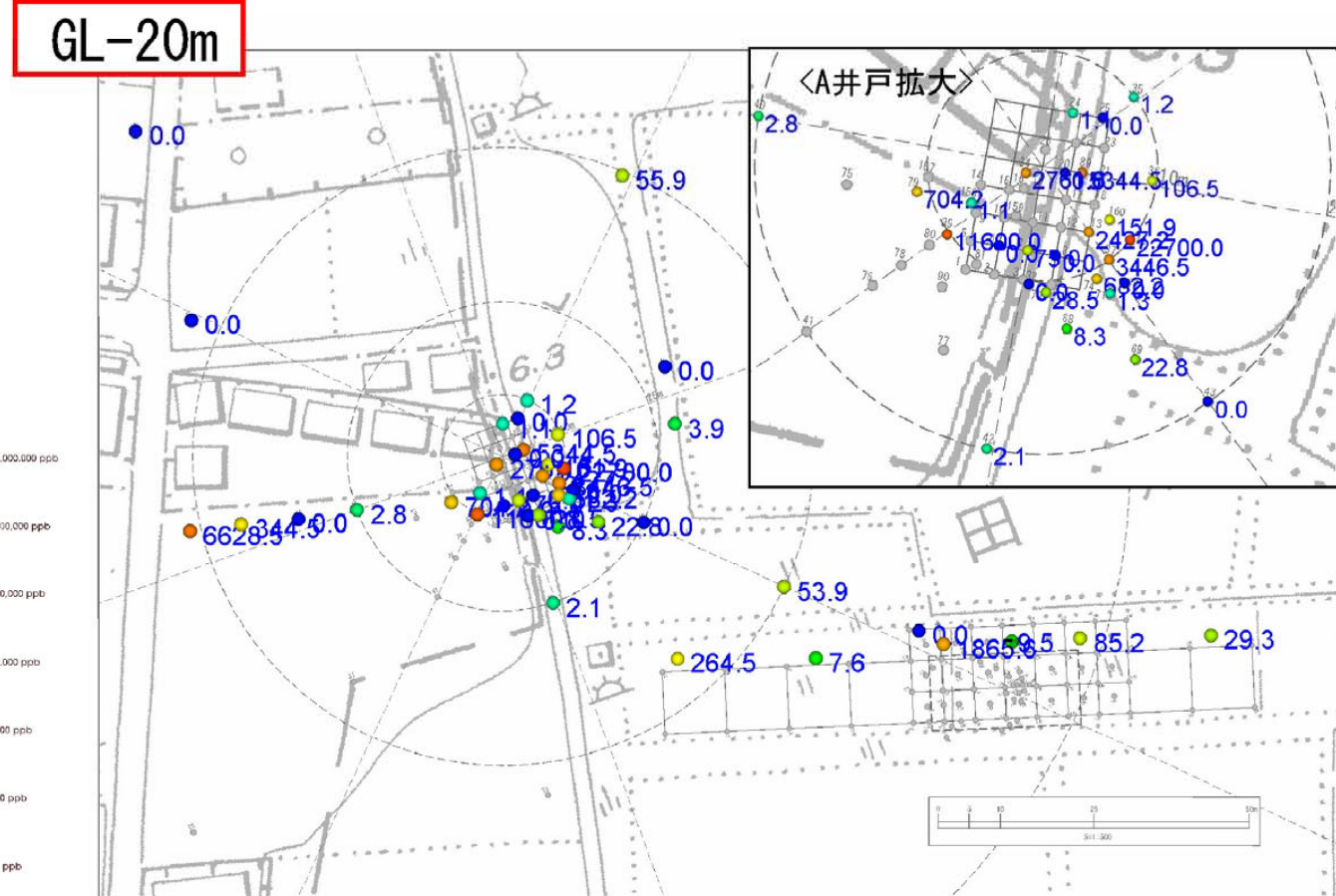
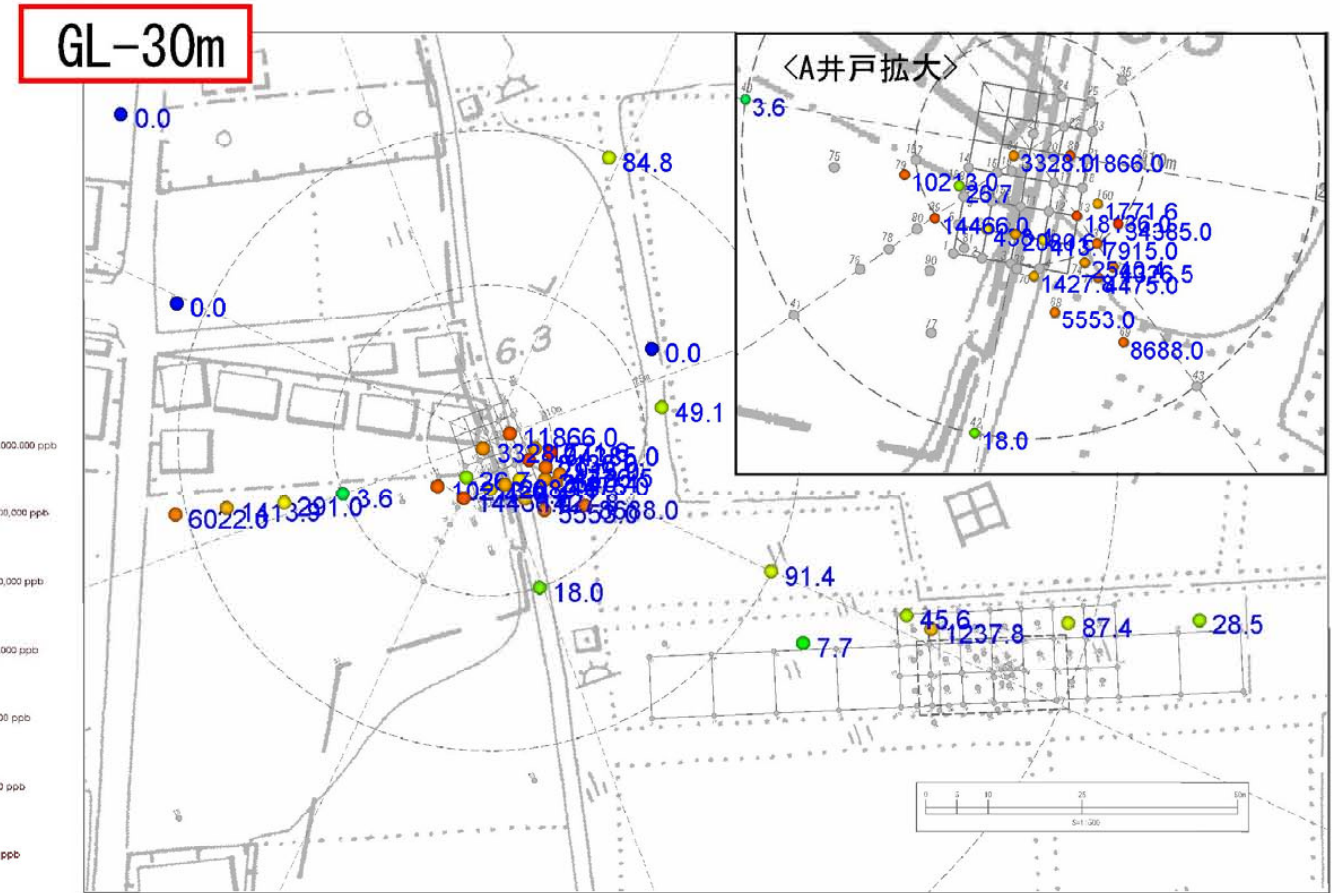
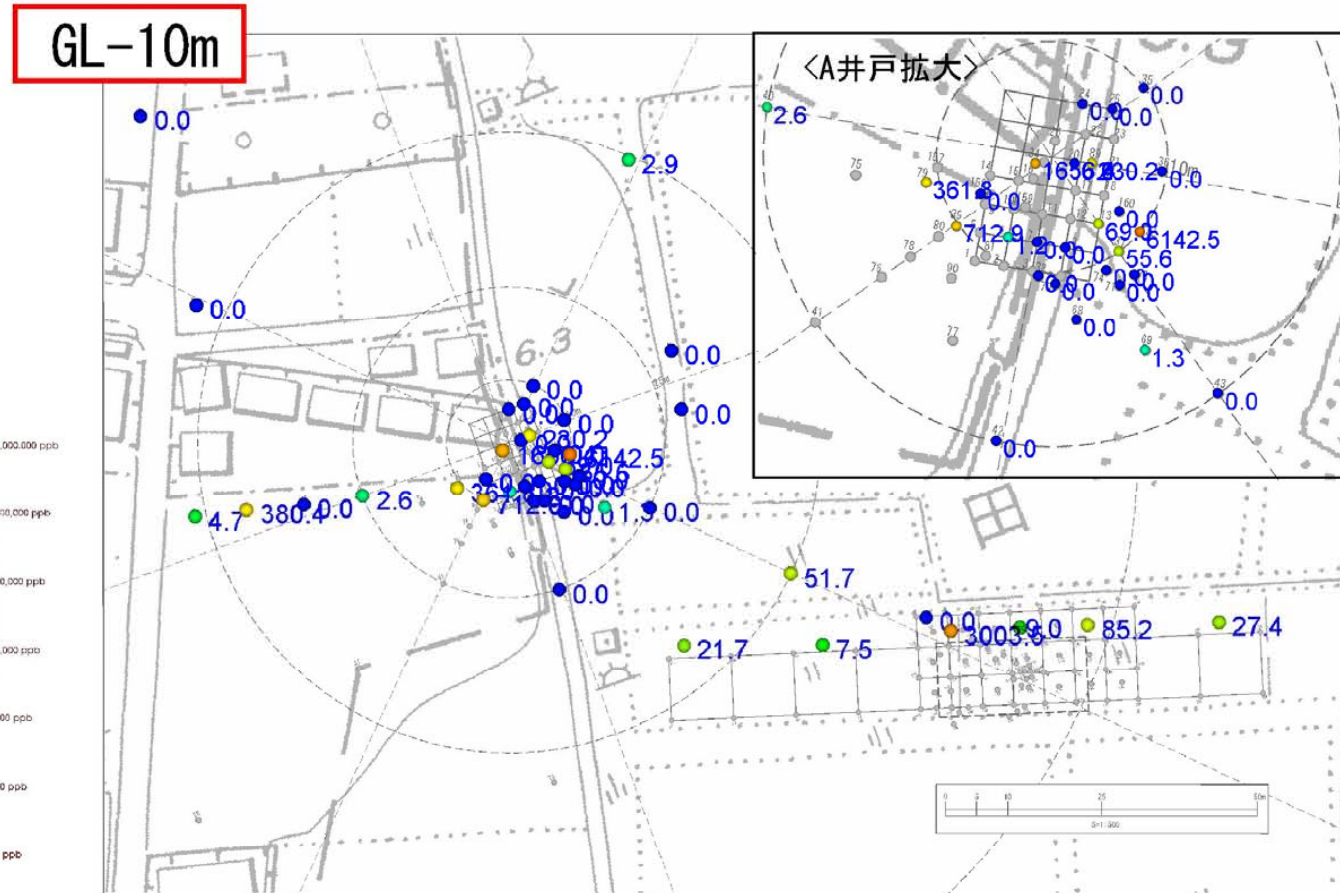




図5.3.40 2005年春季(4~5月)B地区地下水DPAA汚染状況図

単位: ppb(ヒ素換算値)

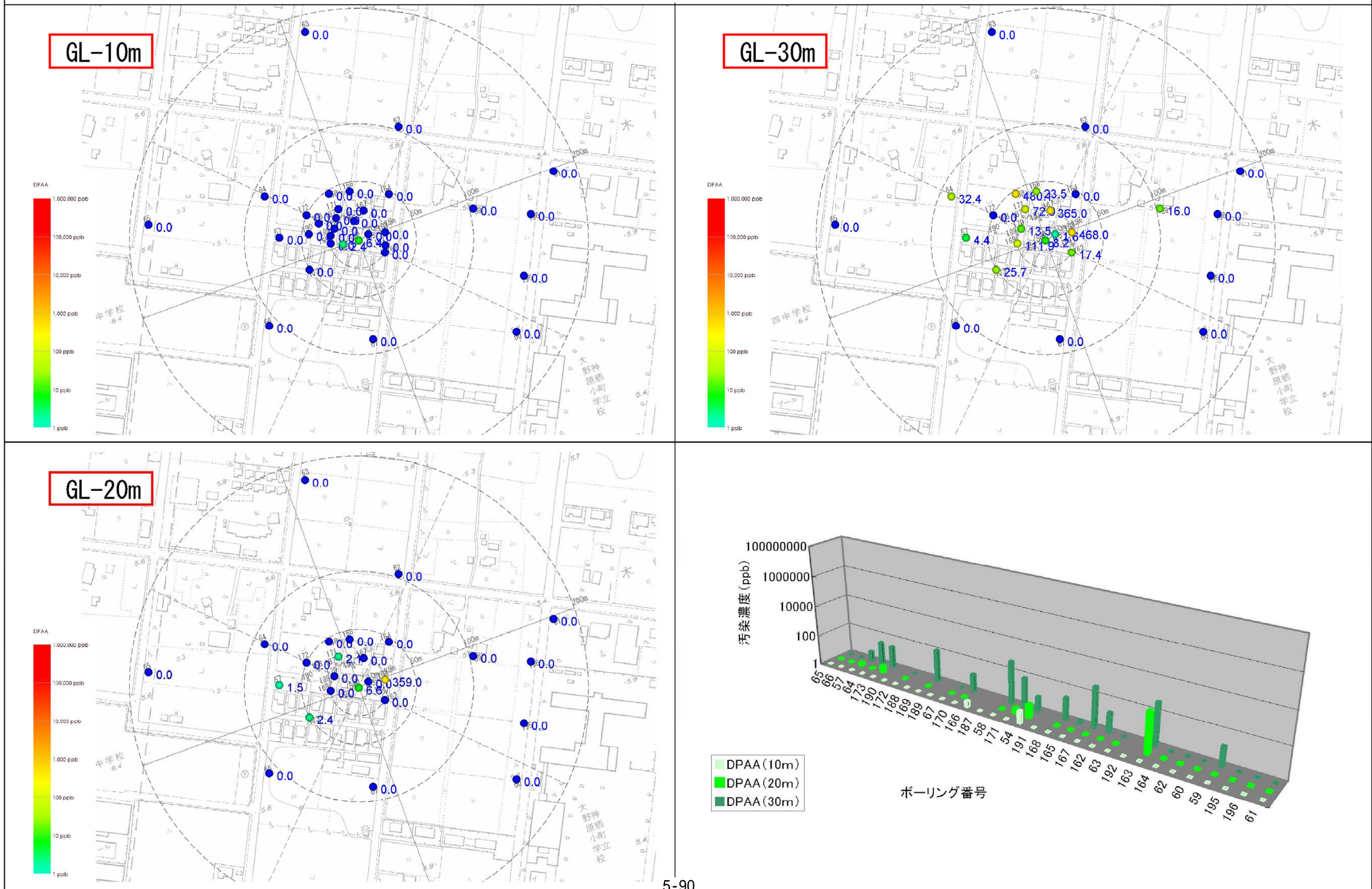




図5.3.41 2005年春季(4~5月)ABトラック地下水DPAA・PAA・PMAA汚染状況図(深度10m)

単位:ppb(ヒ素換算値)

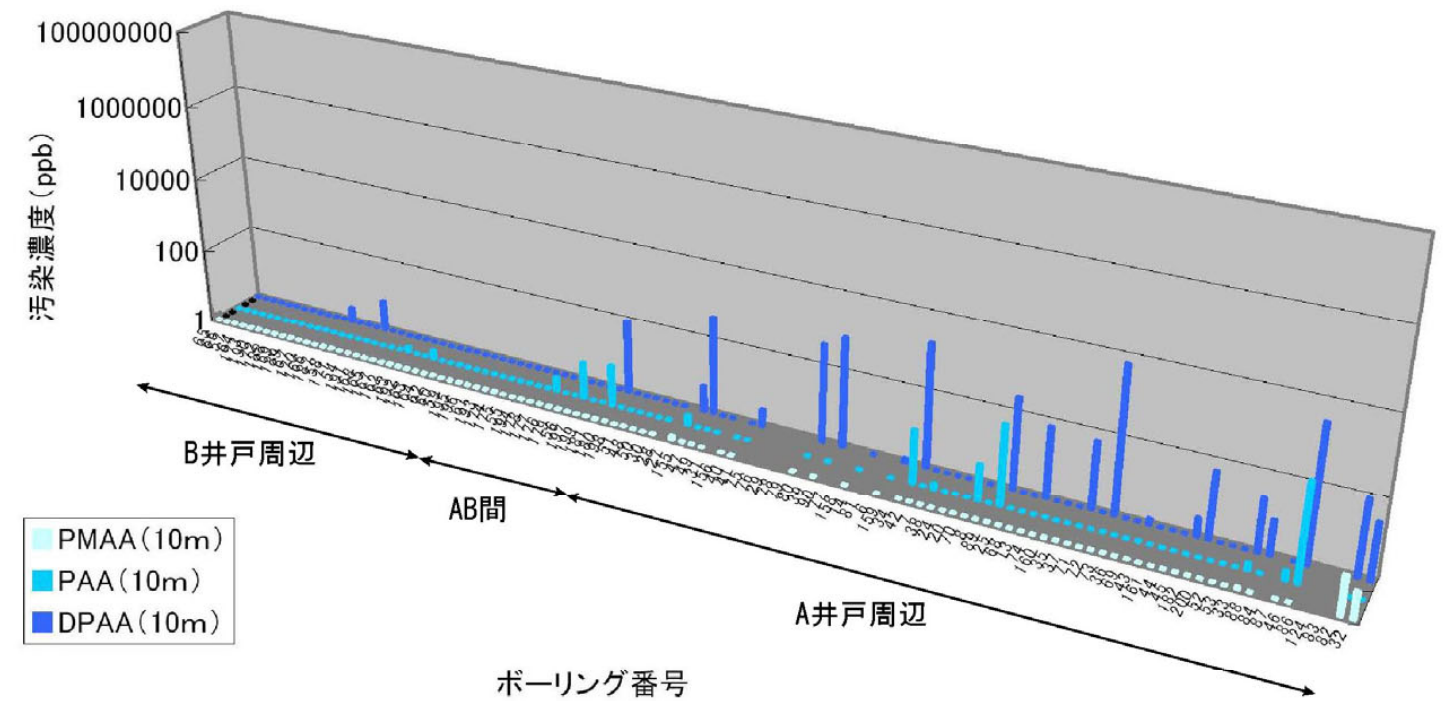
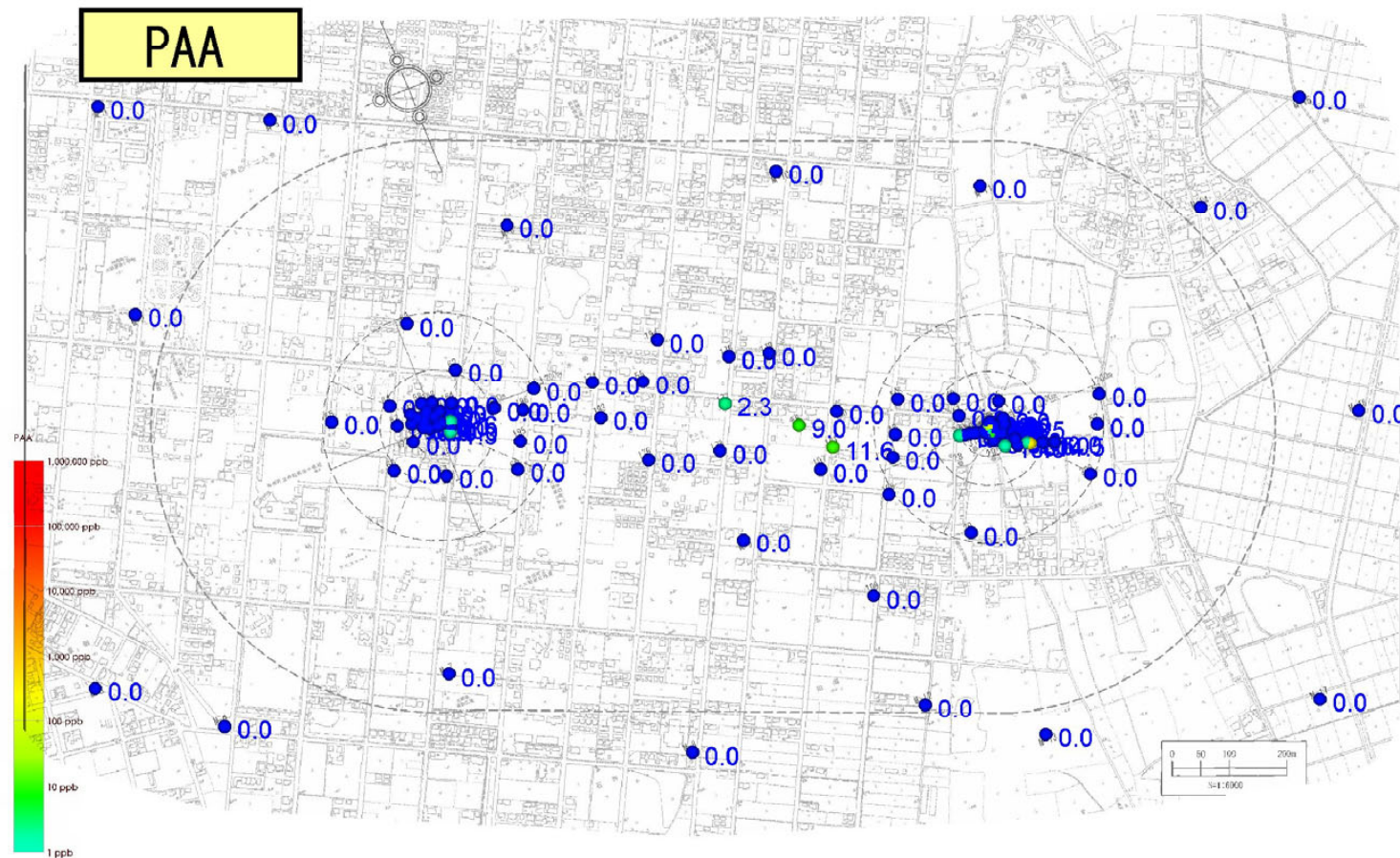
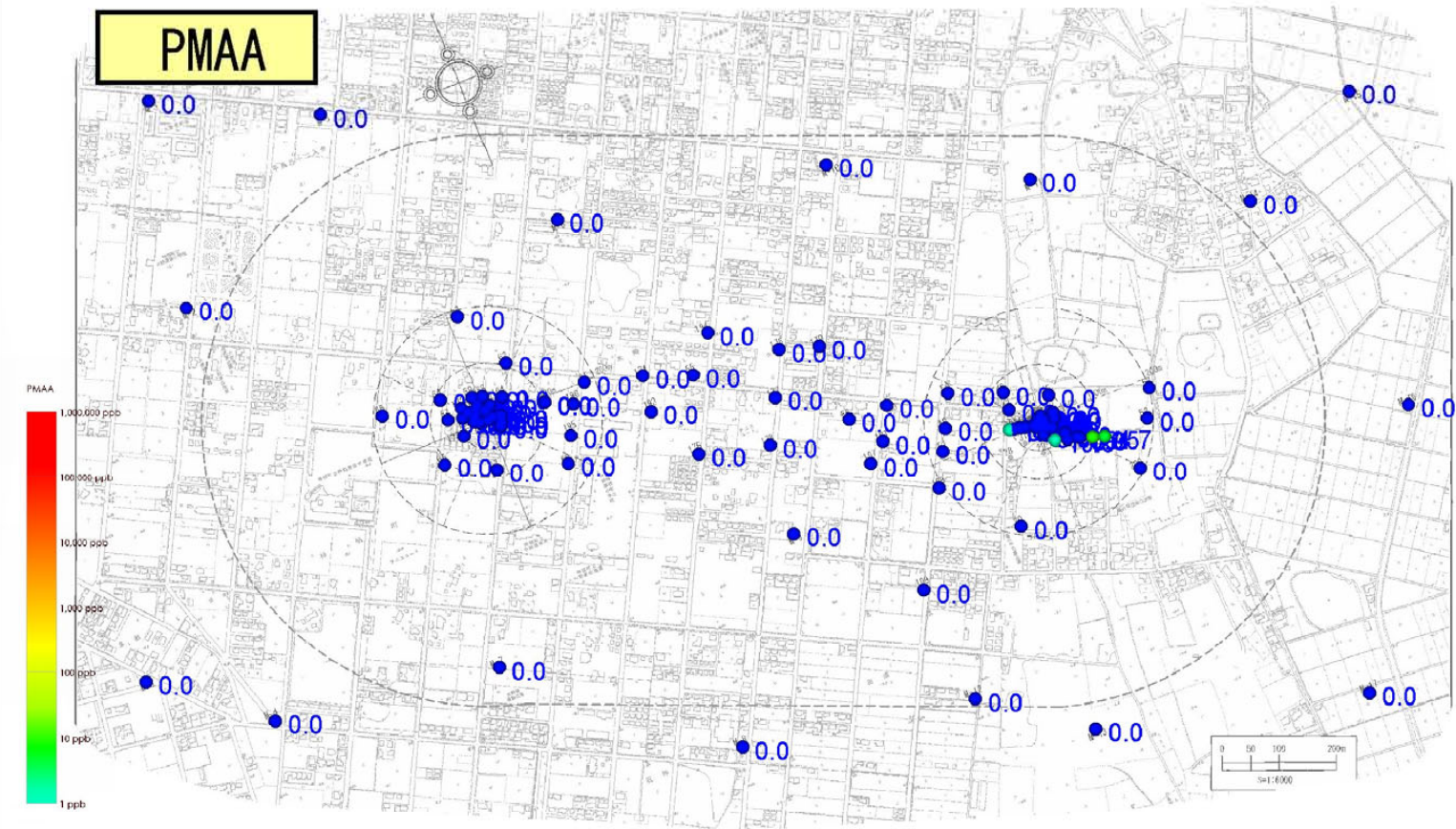
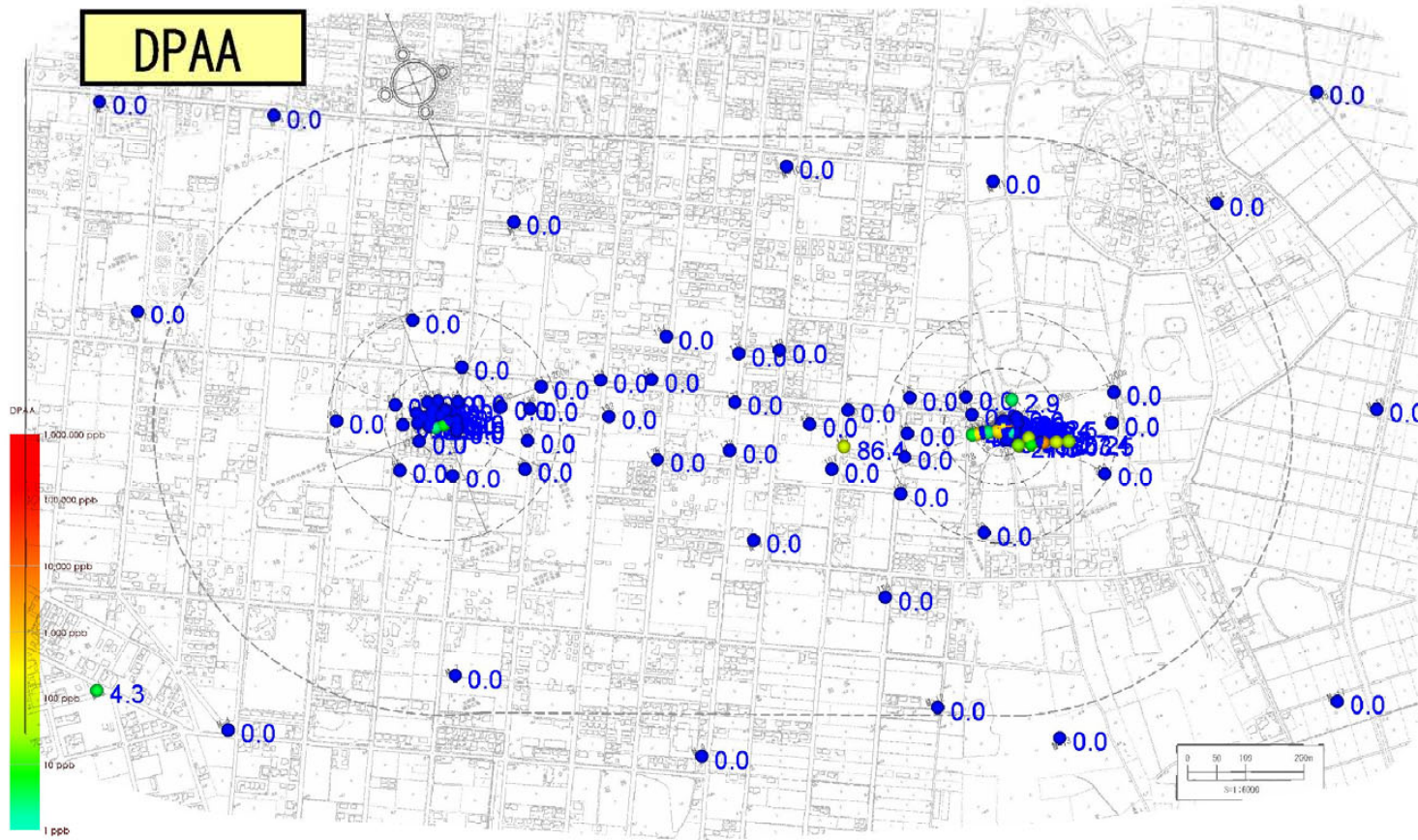




図5.3.42 2005年春季(4~5月)ABトラック地下水DPAA・PAA・PMAA汚染状況図(深度20m)

単位:ppb(ヒ素換算値)

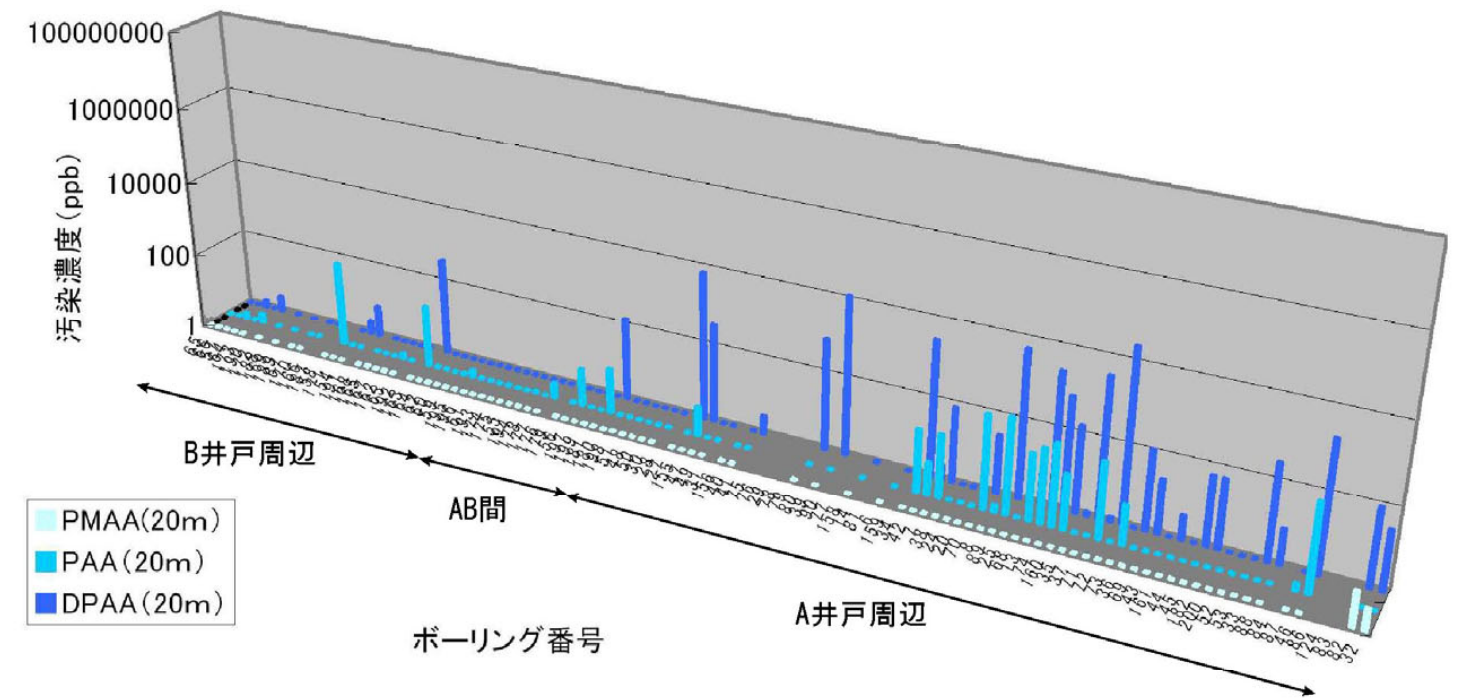
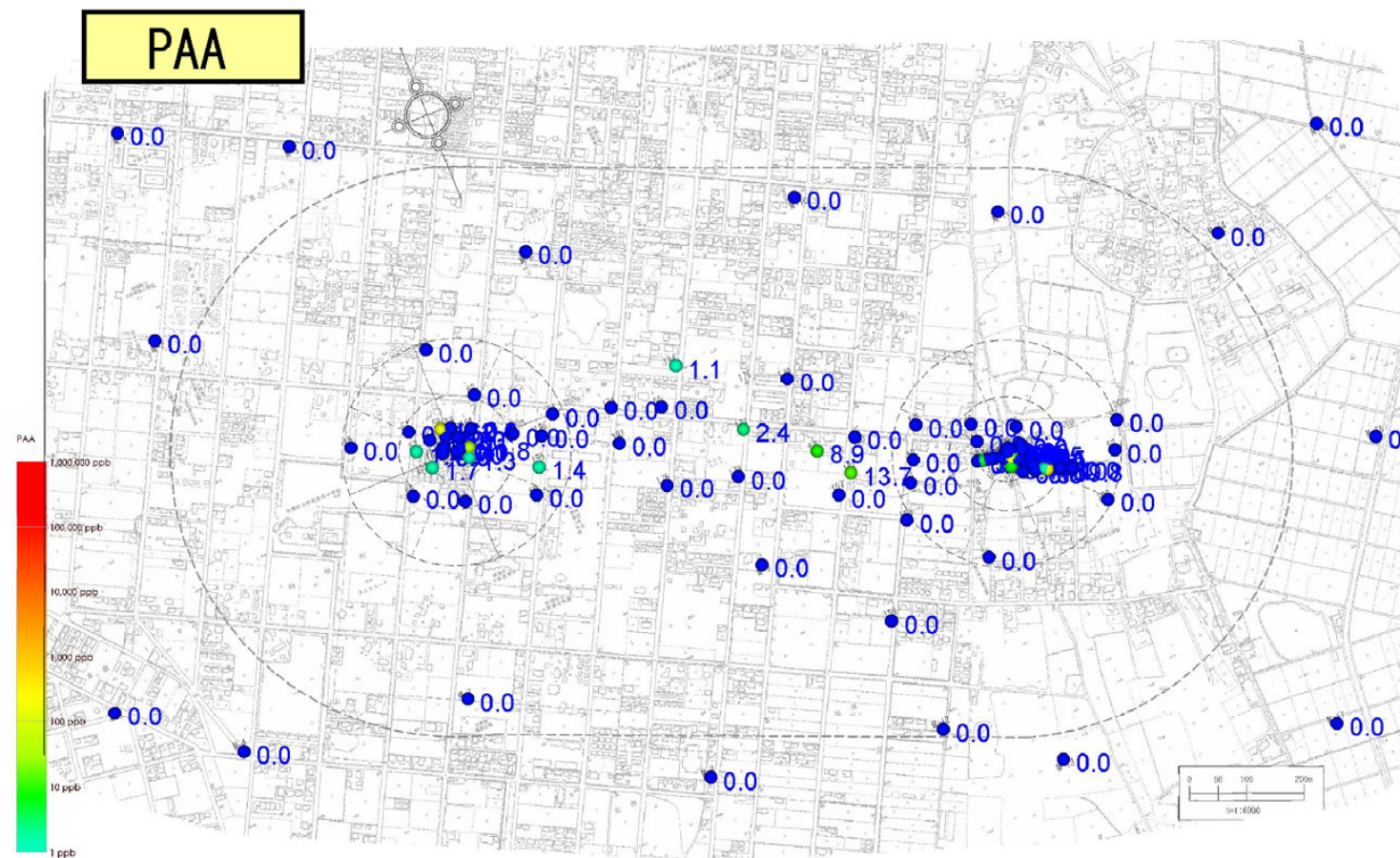
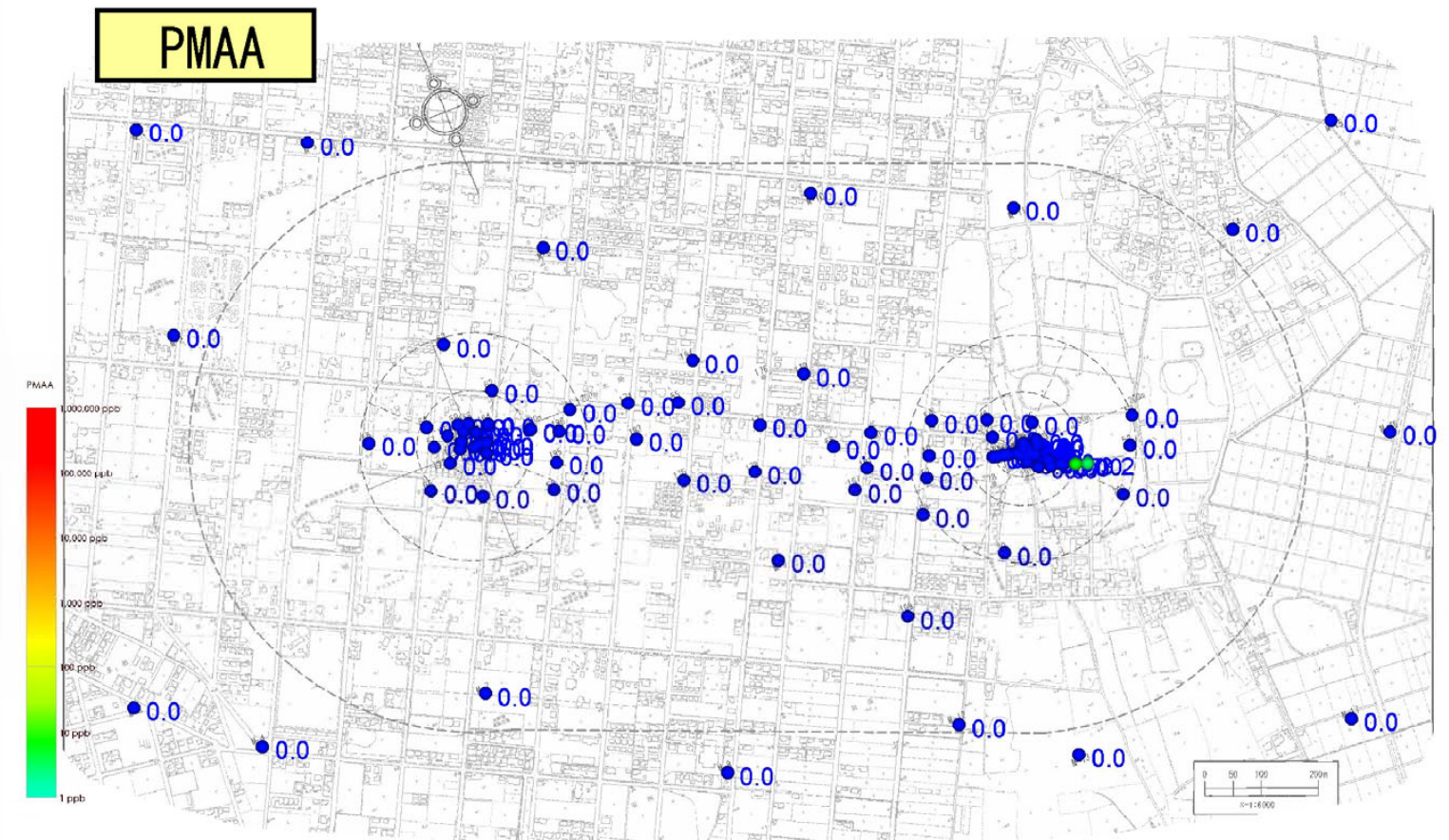
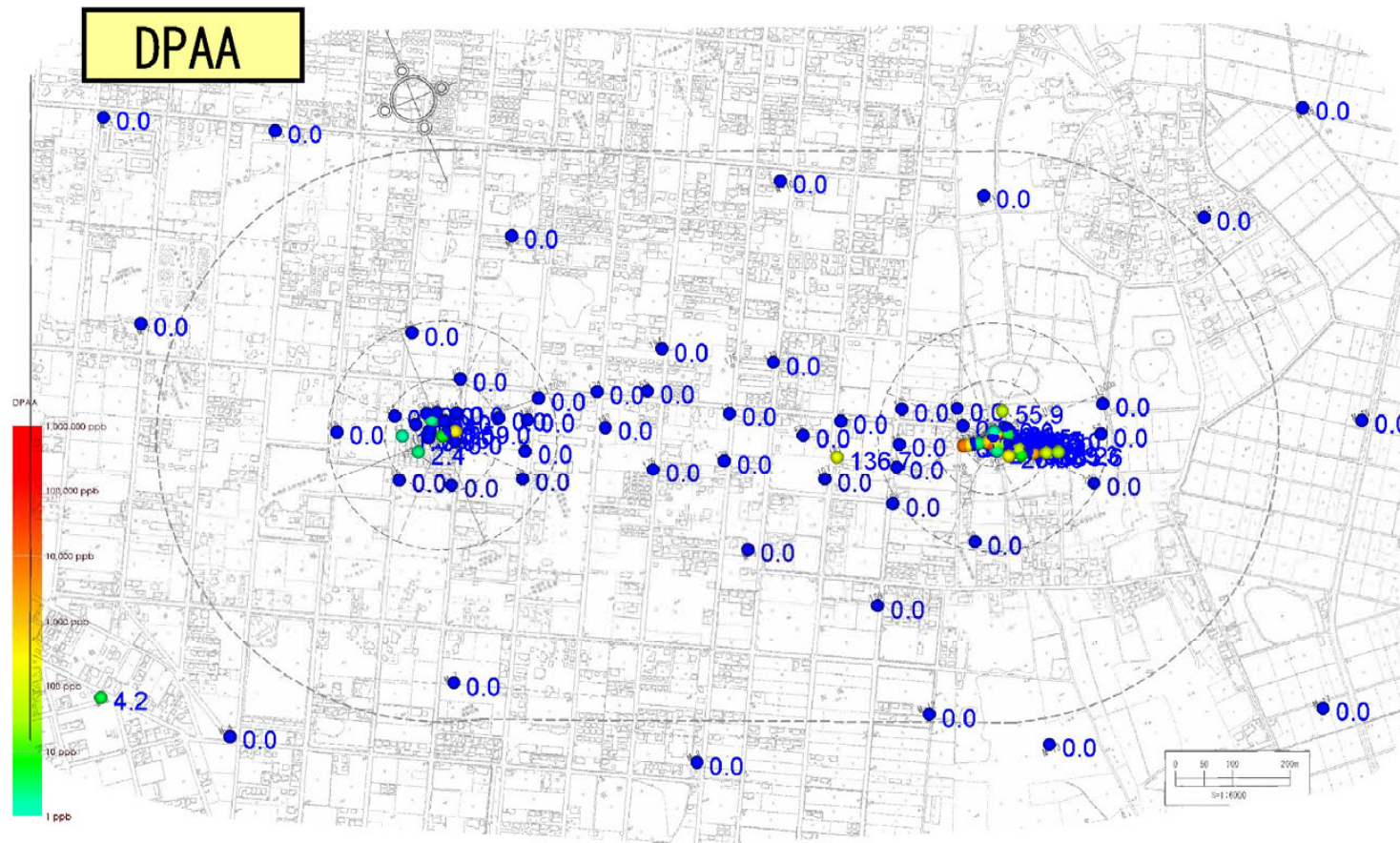




図5.3.43 2005年春季(4~5月)ABトラック地下水DPAA・PAA・PMAA汚染状況図(深度30m)

単位:ppb(ヒ素換算値)

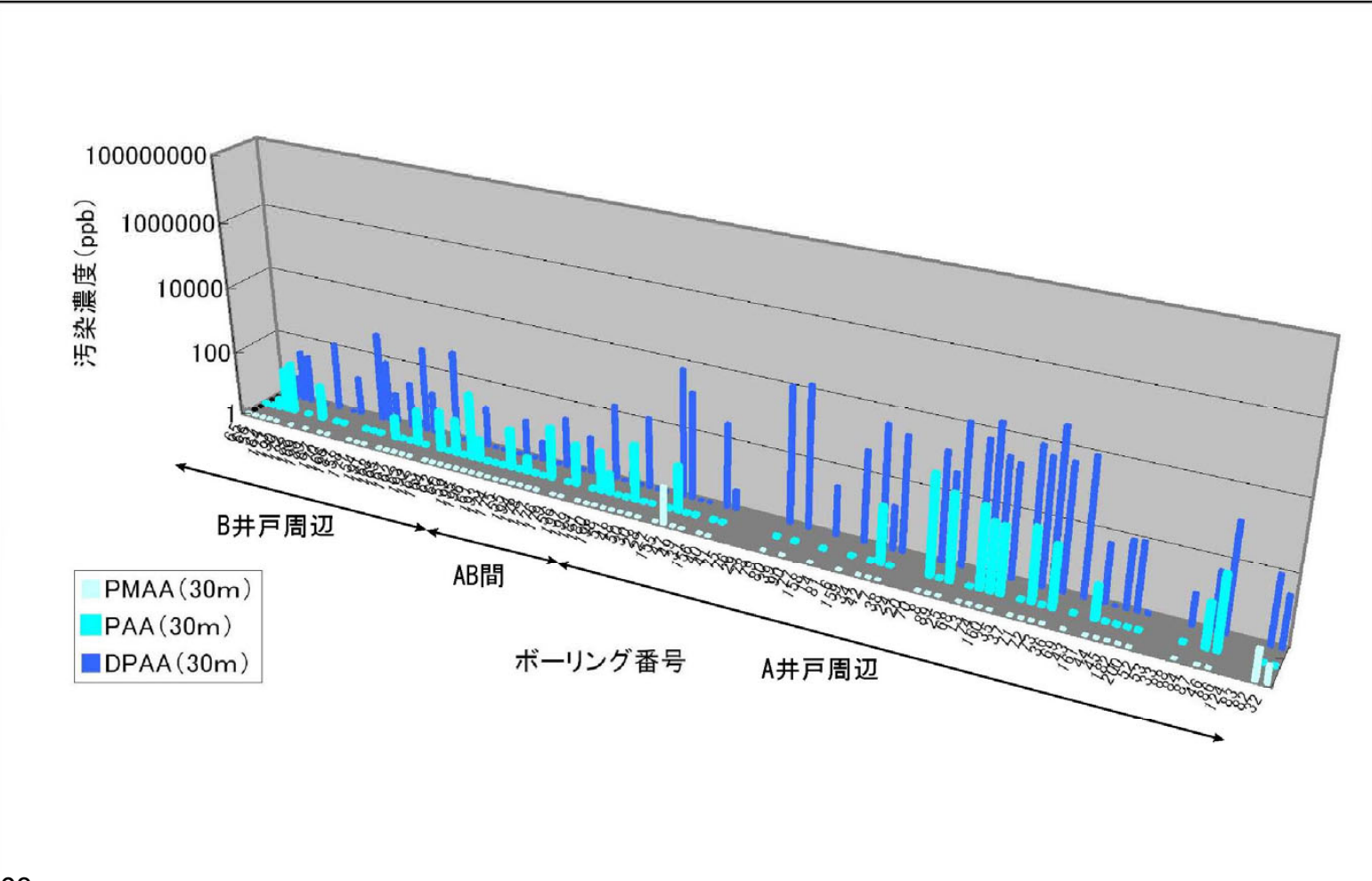
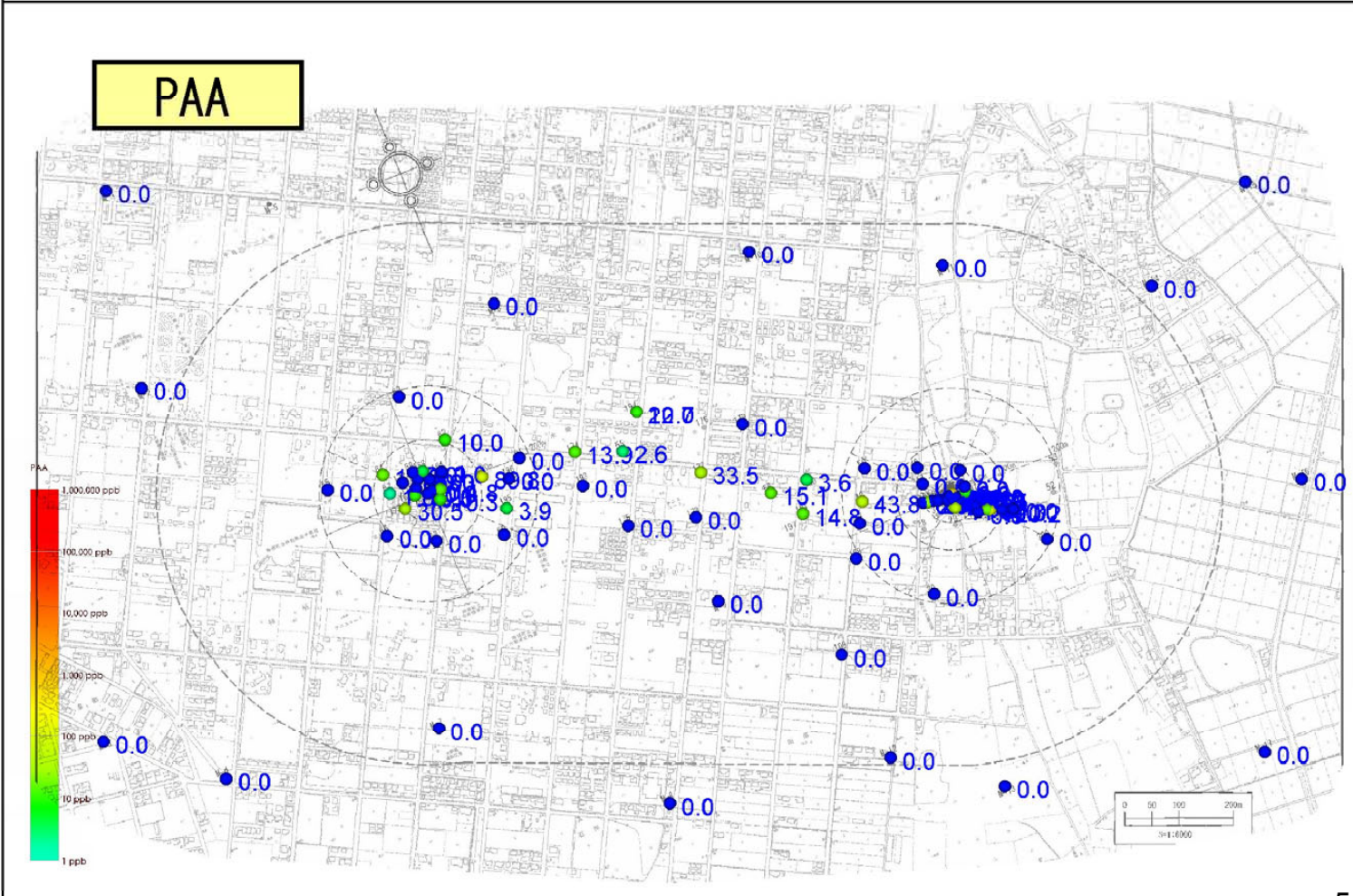
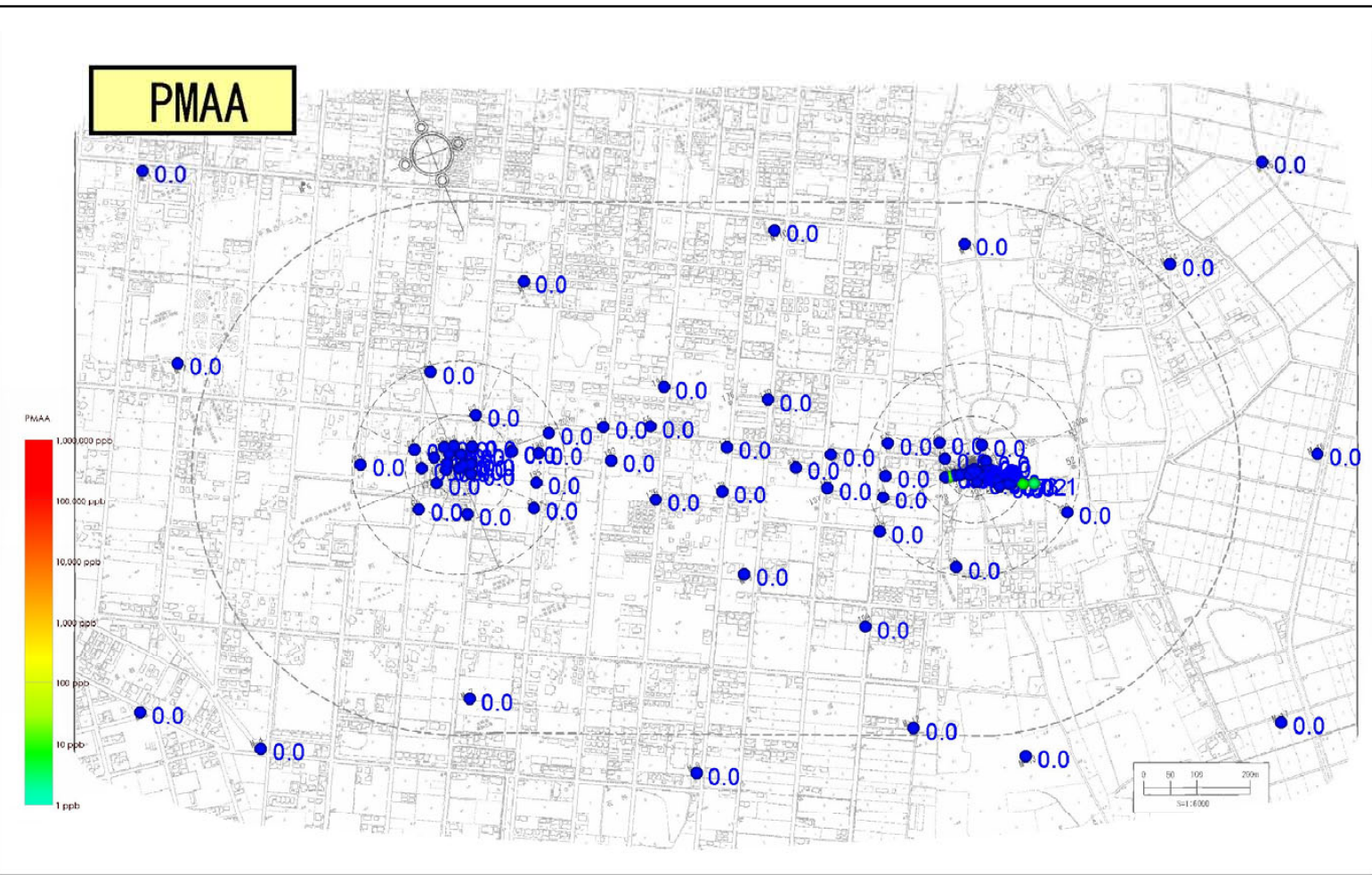
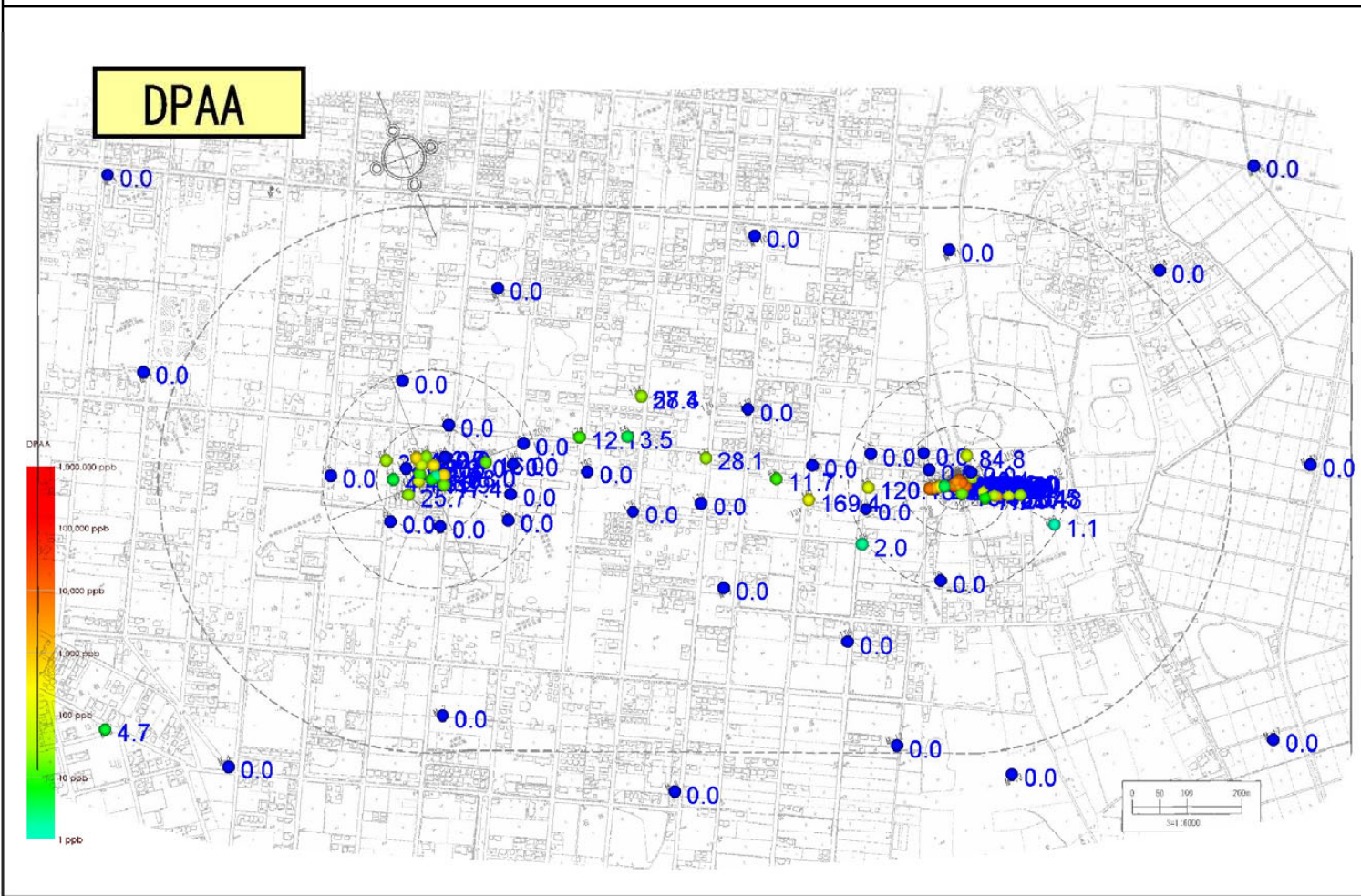
















図5.3.47 2005年春季(4~5月)B地区地下水DPAA・PAA・PMAA汚染状況図(深度10m) 単位:ppb(ヒ素換算値)

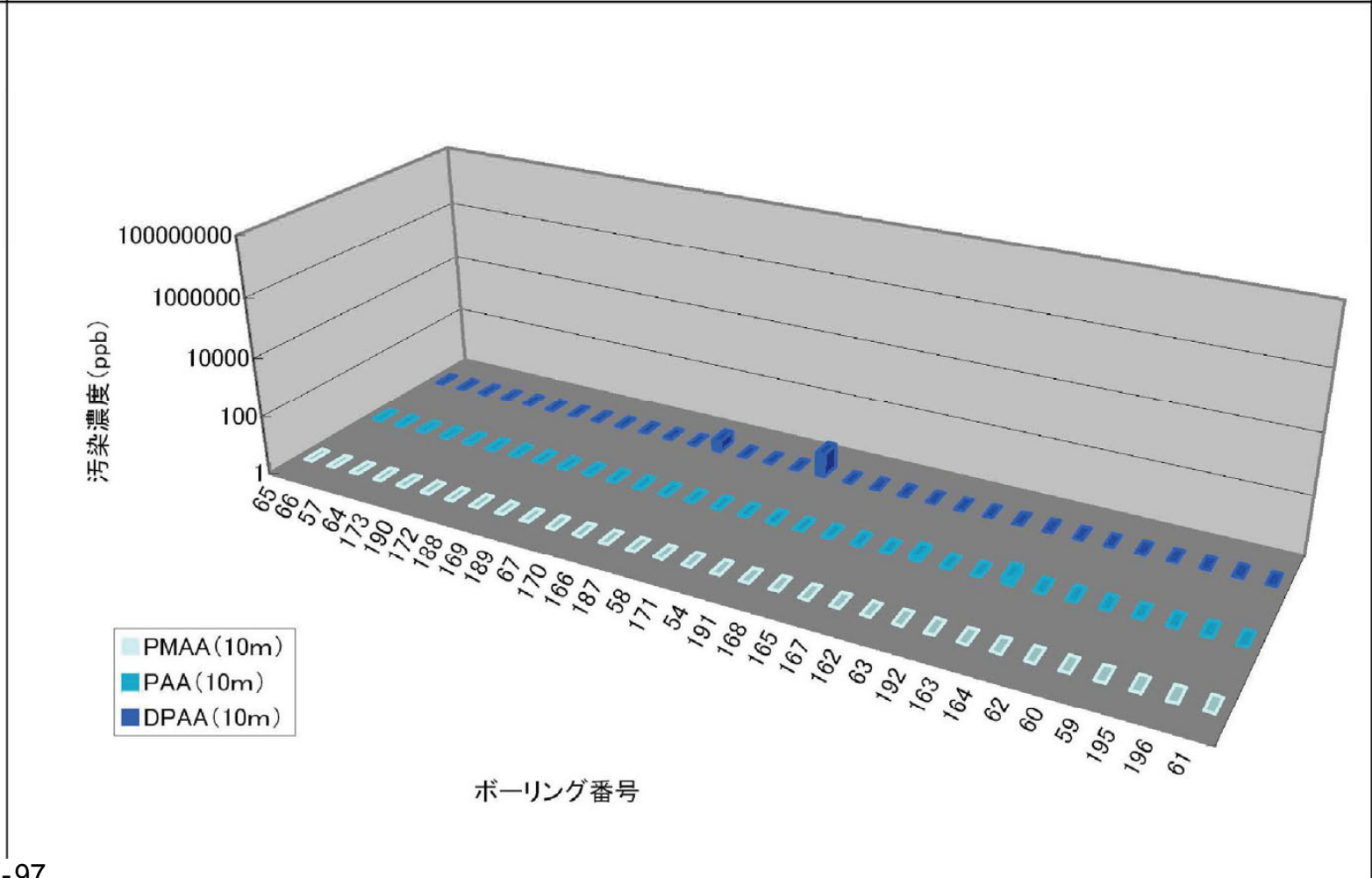
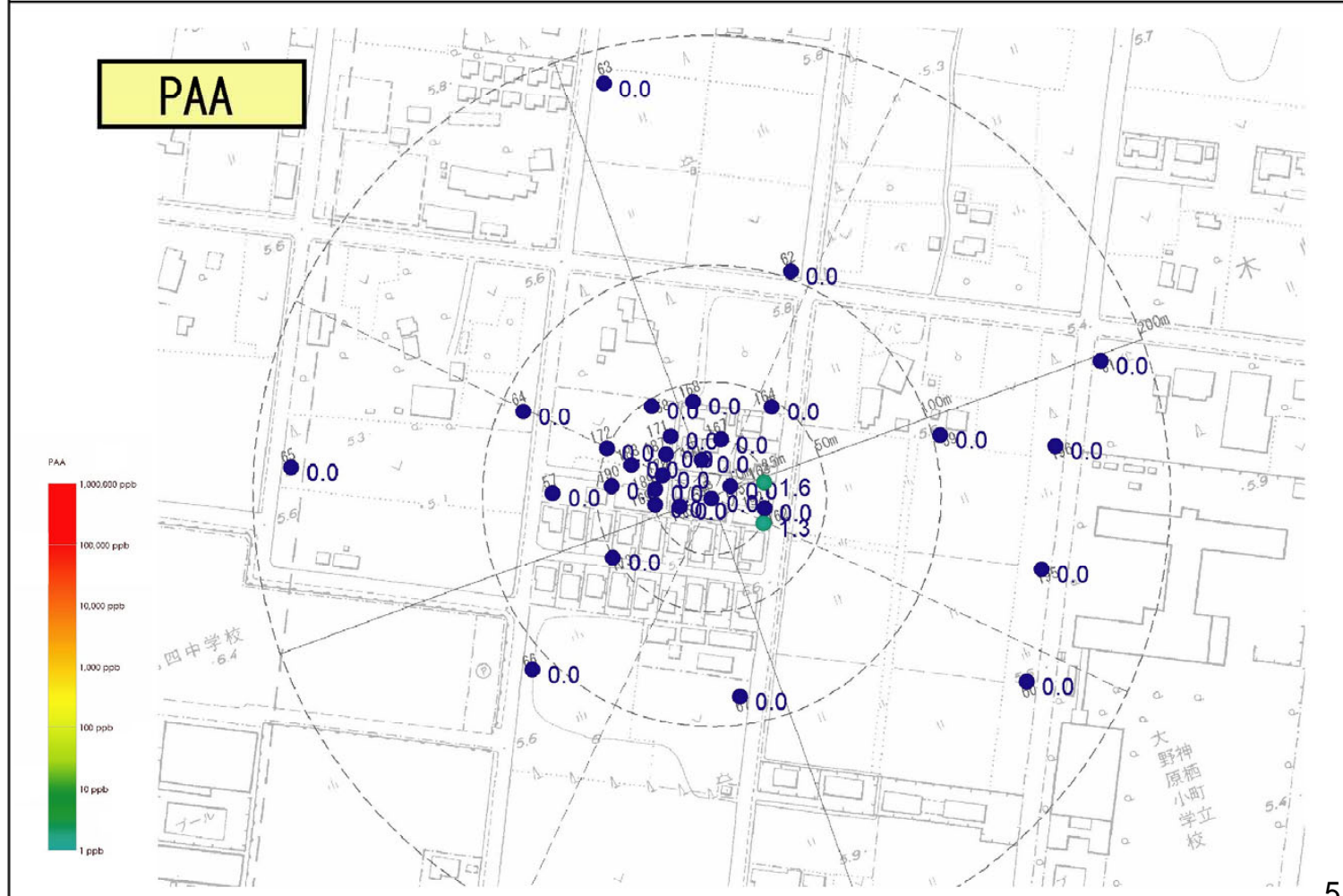
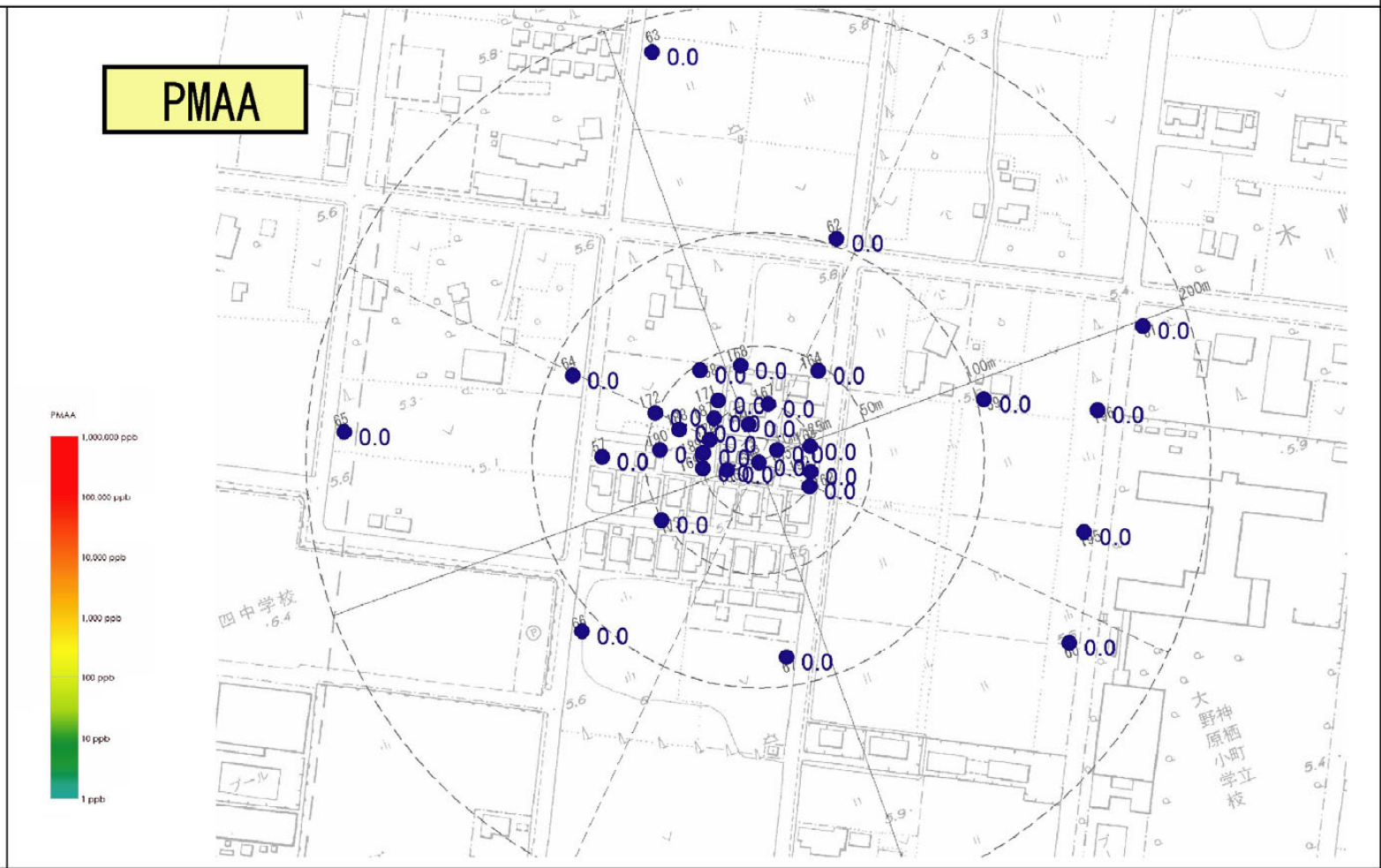
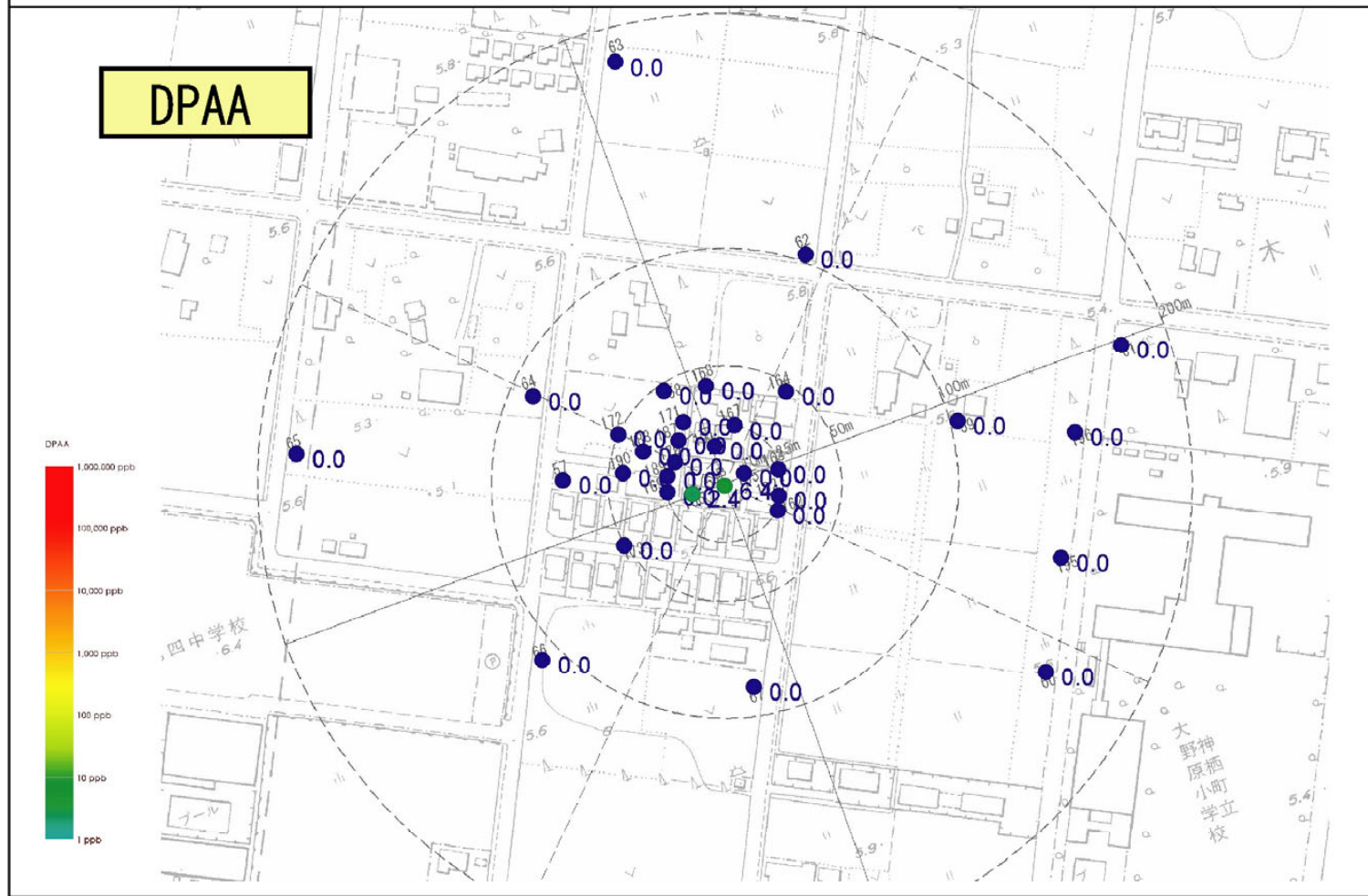




図5.3.48 2005年春季(4~5月)B地区地下水DPAA・PAA・PMAA汚染状況図(深度20m)

単位:ppb(ヒ素換算値)

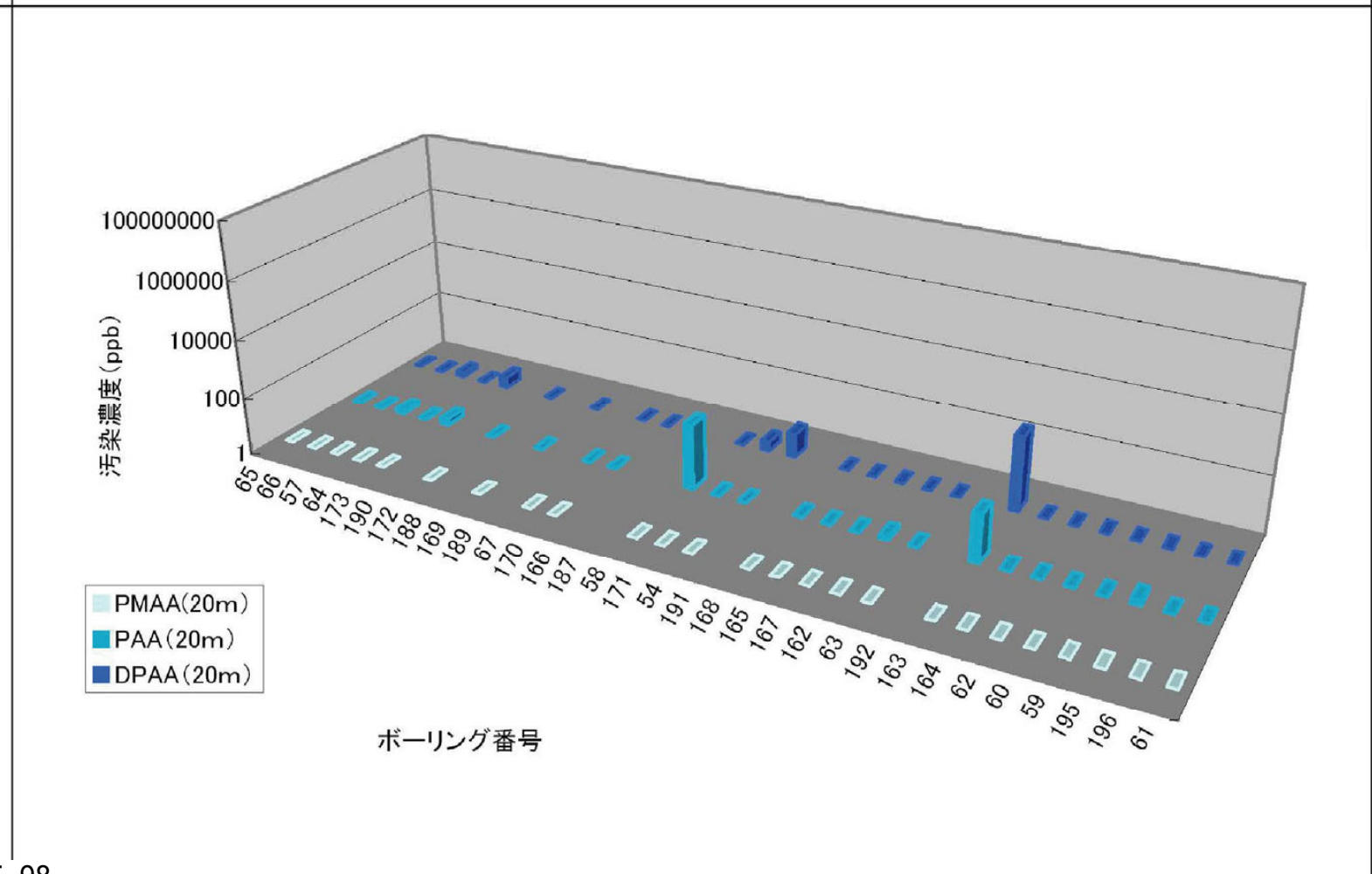
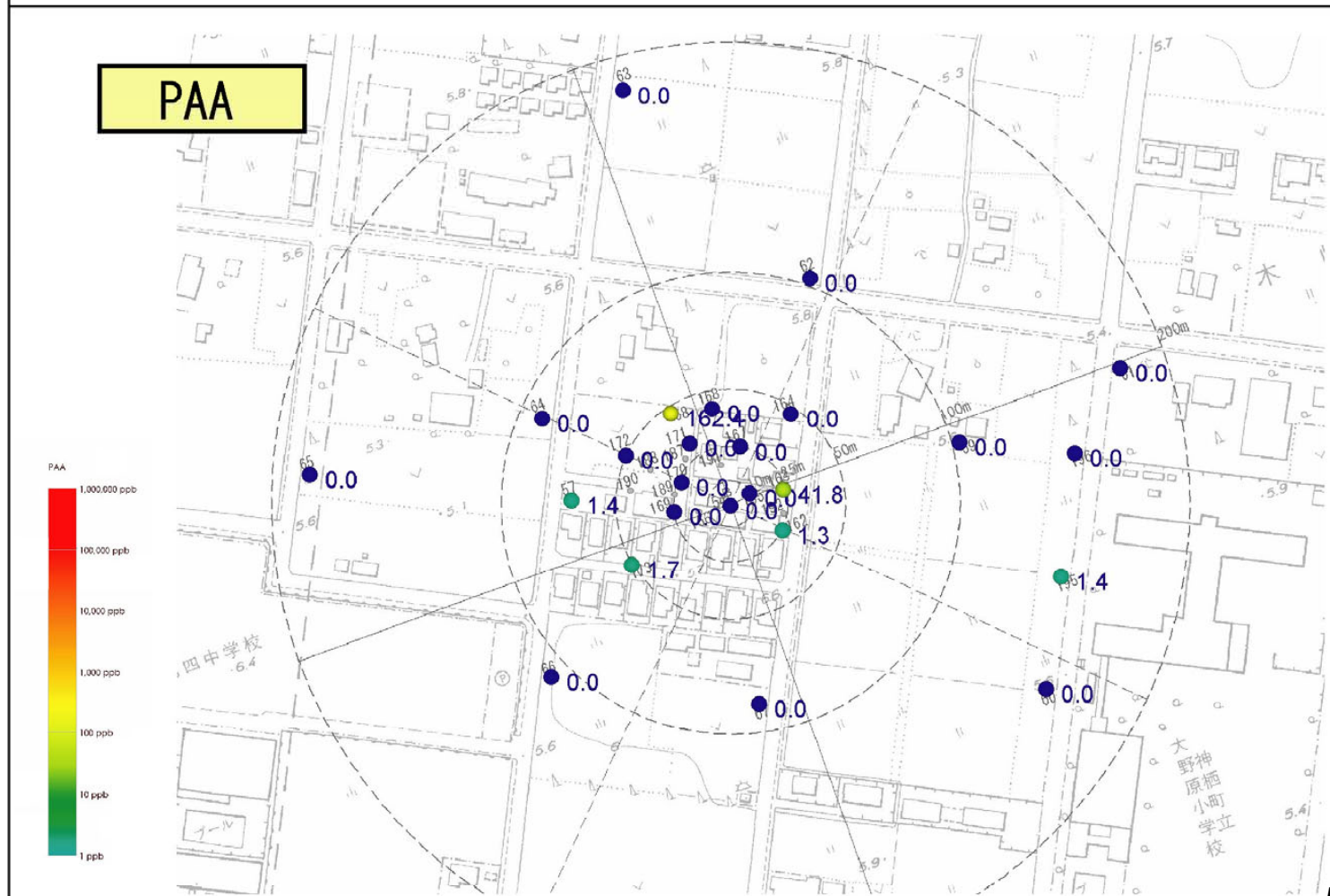
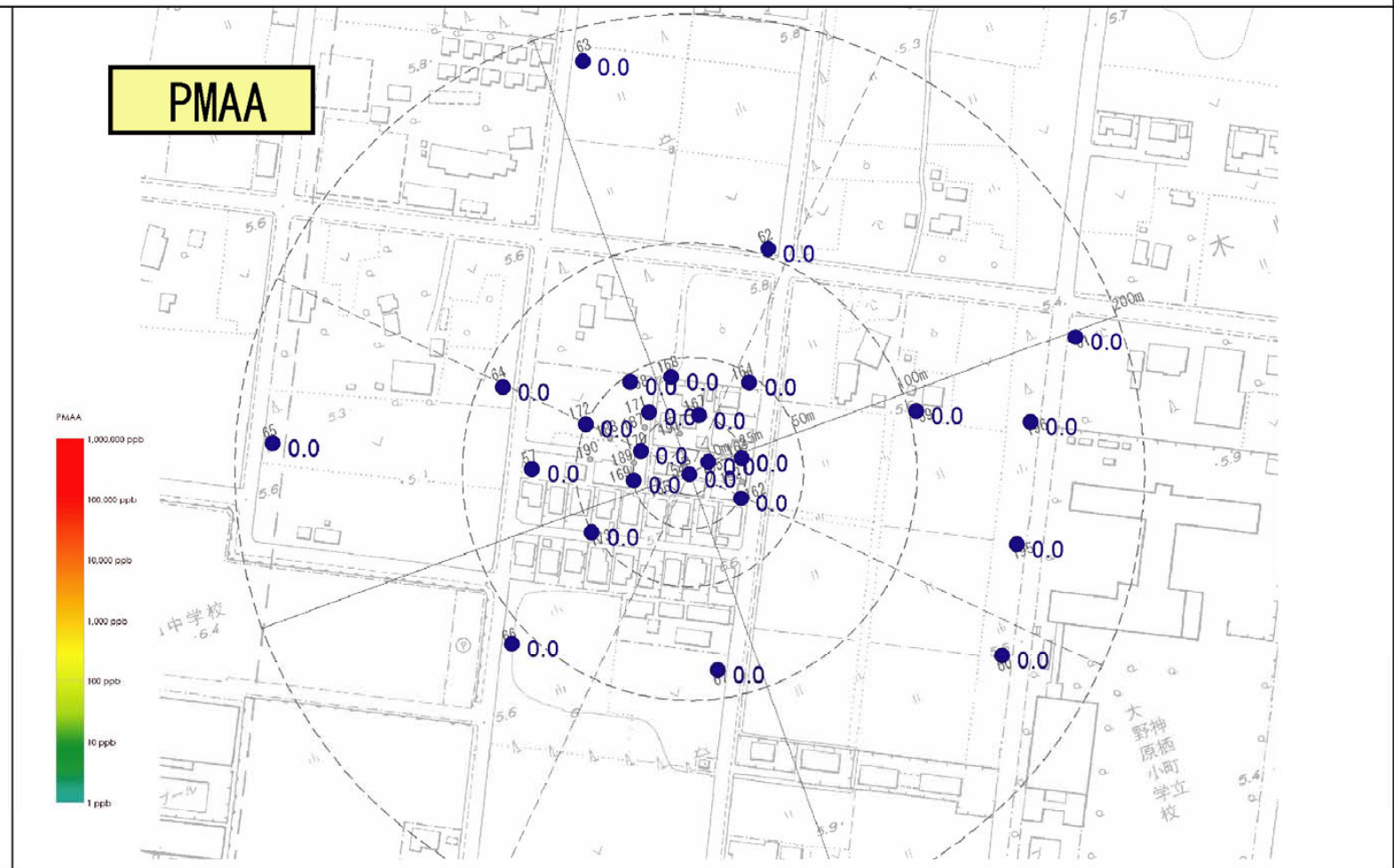
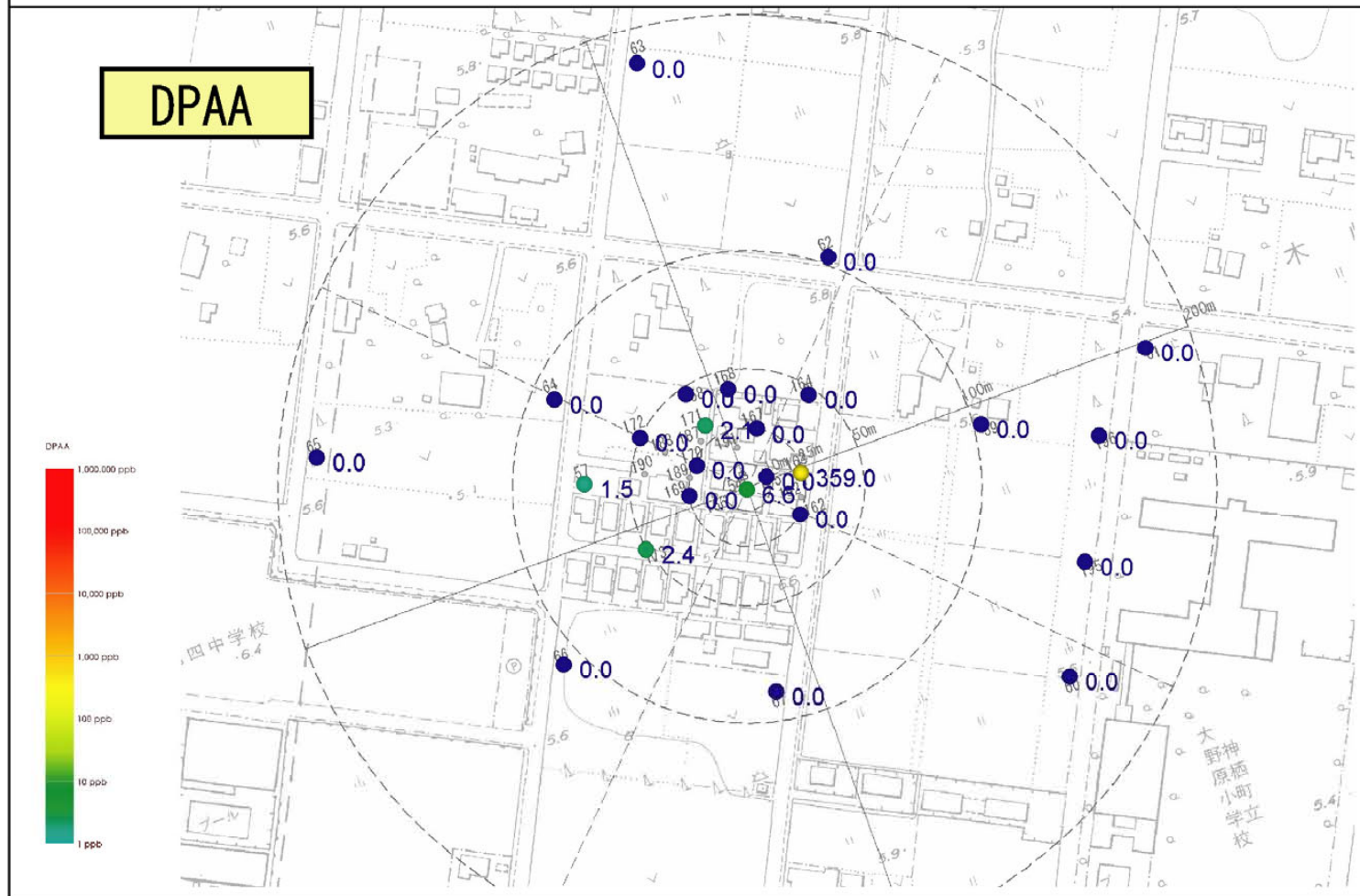




図5.3.49 2005年春季(4~5月)B地区地下水DPAA・PAA・PMAA汚染状況図(深度30m)

単位:ppb(ヒ素換算値)

